

Index

F Tə æ { ^ } dÚ [|

G Qd [à ~ d] } á } á Ú à b & c ^

H Q [| [æ

I Úæ È Ë @ È C } [, | à ^ ^

I È ø |

I È È Öà • ^ | / | ^

I È È Öã ~ ^

I È Ö { à ~ d } } Á Öà • ^ | Ö } * q ^

I È È Ö { { [] } È Ü à Á ^ c q á

I È È Öà • ^ | / | Ö (à • q) •

I ø | • Á ^ à } á Á • dÚ È]

I È ø | • Á ^ à

I È Ú È } á Á T ə æ { ^ } d Á - Á @ Ú d : æ ^ Á ^ •

I È Ú È } á Á T ^ æ ~ : q * Á ^ & @ [| [* Á - Á @ Ö } * q ^ Á ^ •

I È È Ú @ : d è : { Á ^ • dÚ } •

I È È Ö c & d } Á - Á @ Ö } à : q & Á Ú } •

I Ú ~ | • Á - Á @ Ú d : æ ^ Á Ú c á

I È Q ə • à Á - Á @ Ö à à } à ~ ^ |

I È È Ù : - æ ^ Á ^ } • q

I È È Ö à d | } Á Ö @ æ c : à c

I È Ú d : æ ^ Á Ú c à } Á - Á @ Ö à ~ ^ | Ö } à

I È È U c } Á Ú c

I È È p ^ d d } Á ~ { à

I È È x ā & c

I È È Ú : | c } à :

I È È Ú [| { ^ | Ö } c

I Ú ~ | • Á - Á @ Ú @ : d è : { Á ^ • dÚ } •

I È Q ^ ^ } & Á - Á @ Á | Ö } à • Á } Á @ Ö } * q ^ Ö [d [| Á Ú à

I È Q ^ ^ } & Á - Á @ Á | Ö } à • Á } Á @ Ö { à ~ d } Á Ö @ q ~ |

I È Q ^ ^ } & Á - Á @ Á | Ö } à • Á } Á @ Ö (à • q) Á Ö @ q ~ |

I È Q ^ ^ } & Á - Á @ Á | Ö } à • Á } Á @ Ö } * q ^ Á à : c } Á Ú

I Ú ~ | • Á - Á @ Ö } à : q & Á Ú } •

I È Ú ~ | • Á - Á @ Ö [d [| Á Ú à Ö : q * Á @ Á ^ } à : q & Á Ú } •

I È Ö (à • q) Á Ö @ q ~ | Á : q * Á @ Á ^ • dÚ : q á

I È U] c q] ^ & d } Á - Á @ Ö } * q ^ Á c : Á @ Ö } à : q & Á Ú } •

I È È Ö { { à • d } Á Ö à

I È È Ö Ö Ü Á [|

I È È Ö c @ • d æ Á : à [& c ^

ì È Ò-^&ç} Á@Á) * ã ^Á~ à!æç} Ú ã Á
J Û { { æ ^ Á
F€ Ç} ^ç Á
F€È Óã|ã *!æ @ Á
F€Ç Qã^çÁ Áçà!^çæç} • Á
F€È Qã^çÁ Áç ~!^• Á
F€È Qã^çÁ Áç| ^• Á
F€È Y ^æÁ ^çç Áç áÁ[} çç ã çç } Á Á@Á) * ã ^Á~ à!æç} Ú ã Á
F€È Ú[•ç [!ç{ Áç çç •ã Á Á@Áçç!È!^æç ^} çÙ •ç{ Á

Ö @ Ä æ [* ^] Ä Ö Æ • Å ~ Ä Ü € Æ Æ Ö Ç ' Ä Ö @ Ä Q | ^ } * ä ^ Ä æ Ö Æ æ [* ^] Ä Ö Æ ^ Ä ~ & ç } Ä - Ä Ç ' Ä I € Æ Ä æ Ä ^ æ ' i ^ ä Æ

Ä

Engine Endurance Runs

Ö Ä Ö @ Ä ^ } * ä ^ Ä ^ } ä ' i æ & Ä ' ~ } • Ä ~ | • Ä Ö Ö Ä Æ Æ Ä Ö Ç Ö Ö Ä Ö Ö Ä Æ Æ Ä Ö Ç Ö Ö Ä æ ä Ä Ö Ö Ä Æ Æ Ä P X U Ç ' ^ i ^ Ä • Ç ä Ä Ä Ö Ö Ä } * ä ^ Ä | Ä I € Ä Ö æ & Ä V @ Ä ä ä * • Ä Ä Ö @ Ä @ | Ö { Ä Ç • Ö Ä ~ | ä Ä ^ } ~ ä { ^ ä Æ Ö Ö Ä Ö Ö Ä } ^ i æ * Ä [ä Ö Ä ^ | Ä Ö Ö Ä { ä • ä } Ä ^ Ö ä ' i Æ Ö ' i Ö { | i Æ Ö @ Ä } * ä ^ Ä & { } [] ^ } Ö Ä b & d ; Æ ç | ä & @ * ^ i Æ & | ä ä ^ i @ æ Ä æ ä Ä Ö | Ç ^ Ä • Ö , ^ ä Ä [Ä ä ^ i ^ } Ö ä } • Ä - Ä ^ æ Ä {] æ ä Ä Ä } * ä ^ Ä] ^ i æ } Ä } Ä ç ä ä Ä ^ | Ä Ç ' Ä Ö @ Ä • æ ^ Ä ^ ä ä Æ

Y @ } Ä] ^ i æ * Ä } Ä Ö Ç Ö Ä | ^ } ä • Ä • • Ä [| Ö ^] [• æ Ä ^ i ^ Ä ' } ä Ä } Ä Ö Ö Ö Ö Ä [| • i • L Ä @ & Ä & ; i | æ • Ä ä Ö @ Ä æ Ö i æ ^ { ä • ä } • Æ

Ö Ä Ä Ö @ ^ ^ Ä } ä ' i æ & Ä ' } • Ä Ö Ä } * ä ^ Ä ä i æ * Ä ä Ä @ , ^ ä Ä Ö Ä æ ^ Ä ^ Ö ä ' i Ä Ö Ä } ä Ä [~ } ä Ä | Ä } * ä ^ Ä] ^ i æ } Ä } Ä ç ä ä Ä ä • ^ i ^ ^ | Ä | Ä Ä Ö @ ^ ^ Ä • Ä ^ | • Ä Ö i ^ Ä ^ i ^ Ä [Ä ä Æ ^ i ^ } & • Ä Ä Ç ^ ^ } Ä Ö Ä ä Ä ä Ö Ä ^ ä ä Ä Ä Ö Ä ç æ ^ Ç • Ä Ä ä & ; æ Ä V Ö P Ä ä ä Ä ^ ä Ä ^ Ö Ä & { } Ç } d Ö Ä @ } Ä & ^ æ ^ Ä Ö Ö Ä ^ d ä ä } Ä { ä i Ä Ç } Ä Ö Ö Ä ä * Ä Ö Ä ä ä Ä æ Ä Ç & Æ ^ ä Ä Ä } ä ' i æ & Ä ' } • Ä ; [Ä ä ä Ä Ö V @ Ä æ Ä | ä æ | Ä æ • ^ ä Ä Ö Ö Ä & ^ æ ^ Ä Ä Æ Ä Ä Ä Ö Ö Ç Ö Ö Ä } Ç } Ö Ä Ö Ä ä i æ * Ä ä Ä } ä ' i æ & Ä ' } Ä ; [Æ

Ä

Outlook

Ö Ä @ ^ | ä Ä ^ Ä [Ç ä Ä Ö Ö Ä ^ | Æ i æ ä Ä ä ^ i ^ } & • Æ Ä } [,] Ä | { Ä æ | ä | Ä } * ä ^ Ä } | æ } • Æ & ^ | ä Ä [Ö Ä Ä Ç & Ç ä Ä | Ä Ö Ä ç ä ä ^ ä Ö W U X Ç } * ä ^ Ä V @ Ä Ä •] ^ & ä Ä Ä ^ Ä | Ä Ö Ä } Æ & Ä & ^ æ ^ Ä Ä æ [* ^] Ä Ö Æ ^ { ä • ä } • Ä æ • ^ ä Ä Ö Ö Ö Ö Ä } ç ä ä * Ä ^ | • Æ Ö ^ | Æ i æ ä Ä ä ä } • Ä - Ä } * ä ^ Ä] ^ i æ } Ä ~ | ä Ä [Ö Ä Ä ' } ä Ä Ä [Ö Ö Ä @ | Ö { Ä • Ö Ä ä Ä Ö Ä } ä ' i æ & Ä ' ~ } • Æ

Ö Ä [~ | ä Ä ^ Ä ^ • ä ä | Ä Ä ä b • Ö Ö Ä } * ä ^ Ä & { } d [| Ä } ä Ä Ä | | { ^ } ç * Ä æ ^ ä Ä] ^ & ä Ä ^ | Ä ç] ^ Ä Ä Ç & ç } Ä V @ • Ä | Ä ç } | Æ Ö Ä | | Ç ä Ö Ö Ö Ö Ä [Ç } ç Ä Ä ^ | • Ä ä Ö @ Ö Ö Ç Ö Ö Ä } Æ Ç } Ö & ^ | ä Ä ^ Ä Ç | | ä ä Ö Ö i Ö { | i Æ Ö @ Ö Ö Ä Ö ^ Ä | • ä * Ä & ~ | ä Ä ^ Ä ä b • Ç ä Ä Ä Ö Ä & Ç ä Ä ^ { ä • ä } • Ä - Ä æ [* ^] Ä Ö Æ • Ä Ä | ä | Ä Ä ä [ä Ä & ; i | ^ & Ä] • ä * Æ

^æÉÁ ^|^Áq̄ •] ^&c̄ áÁ q̄@^* æáÁq̄ Á@áÁ ææq̄c̄ É•ā c̄æ &^Áq̄ Á@Áā q̄ ~|^Á| ^} áÉV@Á• ~ |c̄ Á [-Á@Á] ææq̄•] ^&c̄ } Á ^|^Á&q̄ |á^áÉÁ

Á

Work Package 9: Stability of Exhaust Gas After-Treatment Components, Provision of Engine Components for Intensified Analytics

QÁ [|^Áq̄ c̄] •q̄^Áq̄ •] ^&c̄ } Á -Á@Ác̄@ǣ •c̄^ æ Áæc̄!É^æq̄ ^} c̄&{ [] ^} •Áq̄ ||| , ^áÁ @} Á c̄@Á } á |æ &^Á } •Á ^|^Á&q̄ {] |c̄ áÉÁ

QÁ•c̄ ^æ ~|^Á æ Á@Áæ•••{ ^} c̄ -Á@Ác̄@ǣ •c̄^ æ Áæc̄!É^æq̄ ^} c̄^•c̄ { •ÁÛÜÔÉÛÜQÁ ÛÖÜDáæ^áÁ } Á@Á { ā •q̄ } Áq̄ áÁ] ^|^æq̄ } æÁææq̄ áæq̄ ^áÁ q̄@Á } á |æ &^Á •c̄ { ā É •q̄ } Áææá ^|^Áæq̄ áÁ ||| , q̄ * Ác̄@ǣ •c̄^ æ Áæc̄!É^æq̄ ^} DÁ q̄@^* æáÁq̄ Áq̄ ^ Á [••æ|^Á &É & !! ^} &^Á -Á | ^ { æ|^Áæ^q̄ * É& } c̄ q̄ æq̄ } Á | Á c̄@!Á&c̄ * ^•ÉÁ

V@ÁÛÜQÁ •c̄ { •Á ^|^Áq̄ æ : ^áÁ ^ Johnson Matthey Á } * |æ áÉÁ

Á

Work Package 10: The Influence on Lubricants by Blends/Blendfuels

QÁ |á|^Áq̄ Á [] q̄ |Á@Á ~ æq̄ Á -Á@Á à|æq̄ •É |q̄ áæq̄æq̄ æ : ^•Áq̄ áÁ&q̄ {] ææq̄^Áæ É •••{ ^} c̄ -Á@Á à|æq̄ •Á ^|^Á&q̄ } á &c̄ áÁà [c̄á |q̄ * Á@Á @ |c̄! { Áq̄ áÁ@Á } á |æ &^Á ! } •ÉÁ

P|^ÁÁ@Áq̄ ||| , q̄ * Áæ] |c̄ •Á ^|^Áæq̄ ^} KÁ

- Á Û@ |c̄! { Á } •K { ^Áæ] |c̄ æ@Á [] Á& {] |c̄ } Á -Áæ@Á|^} áÁææq̄ c̄ -Á [| Á] æ æ^Á Á
- Á Ò} á |æ &^Á } •Kæq̄] |c̄ æ@Á@Á^* q̄ } q̄ * Áq̄ áÁæc̄! Áæq̄æq̄ ÉÁæÉÁÍ ÉÁ | ÉÉÁ Í ÉÁq̄ áÁ ÉÁ] ^|^æq̄ * Áq̄ ^|^Á

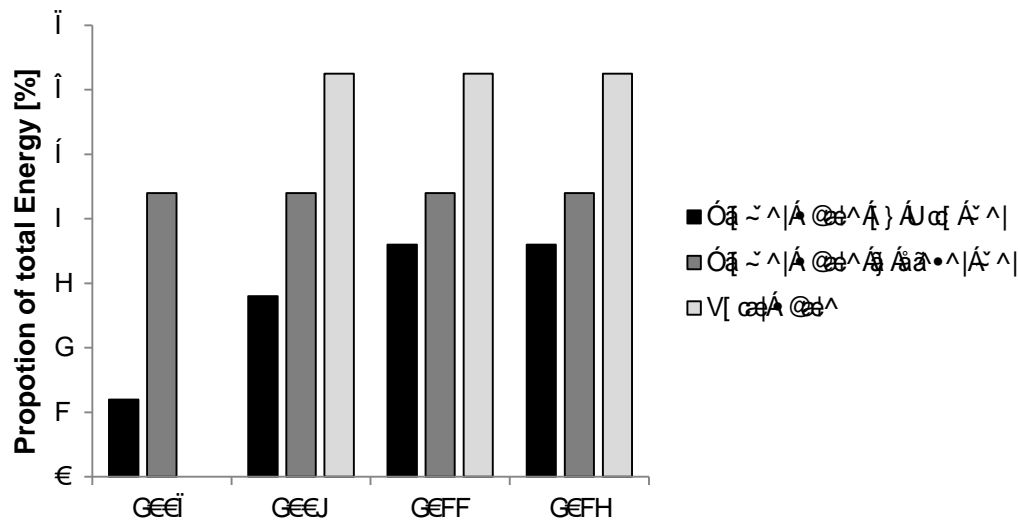
V@Áæ Á æ Á@Á^c̄ { q̄ æq̄ } Á -Á@Á à|æq̄ •Á ææq̄ Áq̄ Á@Á | ^•^} &^Á -Á@Á|^} áÁ&q̄ { É [] ^} •ÉÁ •] ^&c̄^ Á q̄@^* æáÁq̄ Á [] { ^|^æq̄ } Áq̄ áÁ] ^|^ { ā •æ|^Áā q̄ } ÉV@Áq̄ ||| , q̄ * Á | à|æq̄ c̄ | [] ^|^ •Á ^|^Áq̄ æ : ^áÁc̄ā &q̄ •æ É |q̄ { ^|^Áq̄ | { æq̄ } ÉÁ ^æÁ ^æq̄ Éq̄ æÁæ^Á } ~ { à|^Á^ dæq̄ æq̄ } Á { à|^Á|^Á&q̄ } c̄ } ÉÁ [[c̄& } c̄ } ÉÁ

4 State-of-the-Art Knowledge

4.1 Fuels

Österreichische Bioenergieverordnung (BioKraftQuG) - Gesetz über die Herstellung, den Vertrieb und die Verwendung von Bioenergieprodukten. Die Verordnung legt die Anforderungen an die Herkunft, die Qualität und die Zusammensetzung von Bioenergieprodukten fest. Insbesondere sind die Anteile an Biomasseerzeugnissen in den verschiedenen Bioenergieprodukten geregelt. Diese Anteile sind in Prozenten angegeben und hängen von der Art des Produkts und der Art der Biomasse ab. Die Verordnung ist seit dem 1. Jänner 2011 in Kraft und stellt sicher, dass die Bioenergieprodukte aus Österreich hergeleitet sind und somit die Energieerzeugung aus nachwachsenden Rohstoffen fördern. Die Verordnung ist ein wichtiger Bestandteil der österreichischen Energiepolitik und trägt zur Erreichung der Ziele der Erneuerbare-Energien-Richtlinie bei.

Ä



Ä

Figure 1: Legally Stipulated Biofuel Proportion in Fuels According to the BioKraftQuG (Biofuel Quota Act).

Ä

Österreichische Bioenergieverordnung (BioKraftQuG) - Gesetz über die Herstellung, den Vertrieb und die Verwendung von Bioenergieprodukten. Die Verordnung legt die Anforderungen an die Herkunft, die Qualität und die Zusammensetzung von Bioenergieprodukten fest. Insbesondere sind die Anteile an Biomasseerzeugnissen in den verschiedenen Bioenergieprodukten geregelt. Diese Anteile sind in Prozenten angegeben und hängen von der Art des Produkts und der Art der Biomasse ab. Die Verordnung ist seit dem 1. Jänner 2011 in Kraft und stellt sicher, dass die Bioenergieprodukte aus Österreich hergeleitet sind und somit die Energieerzeugung aus nachwachsenden Rohstoffen fördern. Die Verordnung ist ein wichtiger Bestandteil der österreichischen Energiepolitik und trägt zur Erreichung der Ziele der Erneuerbare-Energien-Richtlinie bei.

Ä

4.1.1 Diesel Fuel

Österreichische Bioenergieverordnung (BioKraftQuG) - Gesetz über die Herstellung, den Vertrieb und die Verwendung von Bioenergieprodukten. Die Verordnung legt die Anforderungen an die Herkunft, die Qualität und die Zusammensetzung von Bioenergieprodukten fest. Insbesondere sind die Anteile an Biomasseerzeugnissen in den verschiedenen Bioenergieprodukten geregelt. Diese Anteile sind in Prozenten angegeben und hängen von der Art des Produkts und der Art der Biomasse ab. Die Verordnung ist seit dem 1. Jänner 2011 in Kraft und stellt sicher, dass die Bioenergieprodukte aus Österreich hergeleitet sind und somit die Energieerzeugung aus nachwachsenden Rohstoffen fördern. Die Verordnung ist ein wichtiger Bestandteil der österreichischen Energiepolitik und trägt zur Erreichung der Ziele der Erneuerbare-Energien-Richtlinie bei.

5 Fuels Used and Test Set-up

5.1 Fuels Used

The study involves the use of two different fuel systems: a conventional fuel system and a fuel system with additives. The conventional fuel system consists of Rapeseed Oil Methyl Ester (RME) and Soybean Oil Methyl Ester (SME). The fuel system with additives consists of RME or SME with either BHT or Bisphenol added at a concentration of 500 mg/kg.

- A study on the effect of BHT on the oxidation stability of RME and SME.

- A study on the effect of Bisphenol on the oxidation stability of RME and SME.

- A study on the effect of the concentration of BHT and Bisphenol on the oxidation stability of RME and SME.

The results of the study show that both BHT and Bisphenol significantly improve the oxidation stability of RME and SME. The improvement is more pronounced in RME than in SME. The effect of the concentration of BHT and Bisphenol on the oxidation stability of RME and SME is also studied. The results show that the oxidation stability of RME and SME increases with the concentration of BHT and Bisphenol.

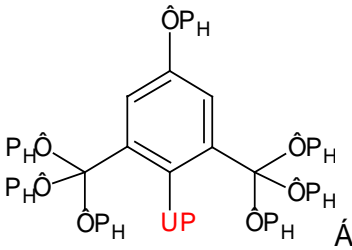


Figure 3: Chemical Structure of BHT

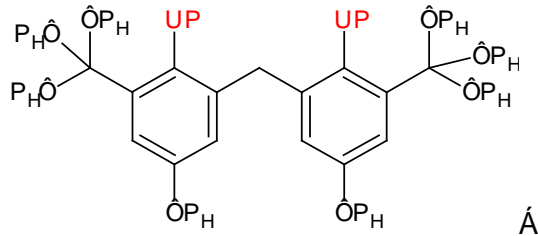


Figure 4: Chemical Structure of Bisphenol

The study also includes a comparison of the oxidation stability of RME and SME before and after the addition of BHT and Bisphenol. This comparison is presented in Table 1 for RME and Table 2 for SME.

Table 1: Oxidation Stability of Rapeseed Oil Methyl Ester before and after Additivition

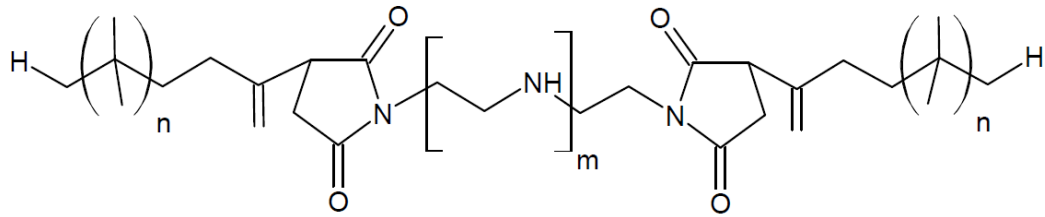
BHT added [mg/kg]	Oxidation Stability of RME [h]
0	1.5
500	2.5
1000	3.5

Table 2: Oxidation Stability of Soybean Oil Methyl Ester before and after Additivition

Bisphenol added [mg/kg]	Oxidation Stability of SME [h]
0	1.5
500	2.5
1000	3.5

Table 1 and Table 2 show that the addition of BHT and Bisphenol significantly increases the oxidation stability of RME and SME. The increase is more pronounced in RME than in SME.

The study concludes that both BHT and Bisphenol are effective antioxidants for RME and SME. The effect of the concentration of BHT and Bisphenol on the oxidation stability of RME and SME is also studied. The results show that the oxidation stability of RME and SME increases with the concentration of BHT and Bisphenol.



Á

Figure 5: Chemical Structure of the PIBSI Detergent.

Á

V@&@{ ääÄ @•äÄä ää ä^•Á-Á@ÁÖE Ö& {]] } ^ } •Ä^Ää ä^ä Ä^ä^ÄÄ

Table 3: Chemical-Physical Parameters of the FAME Components (limits according to DIN EN 14214)

ParameterÁ	UnitÁ	RME ¹⁾ Á	SME ¹⁾ Á	FAME ²⁾ Á	LimitÁ
Ö••!ÁÖ[] •) Ö	Ä Á	Jì È Á	Jì È Á	} ÈÄ	{ ä } ÈÄ
Ö^}•ä^ÄÄ ÁÖÁ	\ * Ä Á	ììì Á	ììì Á	ììì Á	ììì Á
Sä^ { ääÄä & } •ä^ÄÄ ÄÖÁ	{ { Ä Á	I È Á	I È Á	I È Á	H È Á
Öä ÖÚ[] ä Ö	»ÖÁ	NFGÄ	NFGÄ	Fî Á	{ ä } FÄ
ÖÖÜÁ	»ÖÁ	Èî Á	È Á	ÈÄ	{ ä } ÈÄ
Û^] @!ÁÖ[] •) Ö	{ * Ä Á	ŁÄÄ	ŁÄÄ	} ÈÄ	{ ä } ÈÄ
ÖÖÜÁ	Ä Á	ŁÄÄ	ŁÄÄ	ÈÄ	{ ä } ÈÄ
Ö^ä^Ä^ { ä!Á	ÈÄ	NÄ FÄ	NÄ FÄ	í GÄ	{ ä } ÈÄ FÄ
ÖÖ ÖÚ[] •) Ö	Ä Á	ŁÄÈGÄ	ŁÄÈGÄ	ŁÄÈFÄ	{ ä } ÈÈGÄ
Y ä^!ÁÖ[] •) Ö	{ * Ä Á	Gî Á	Fî Á	G Ä	{ ä } ÈÄ
V[ä^!ÁÖ[] ä ä ä } Á	{ * Ä Á	í Á	í Á	HÄ	{ ä } ÈGÄ
Ö[] ^!ÁÖ[] ä ä } Á	ÈÄ	FÄ	FÄ	} ÈÄ	{ ä } ÈÄ
U ä ä } Ä ä ä Ä Ö Ö Ä F F G Ä	Ö	ì ÈÄ	î ÈÄ	Fí Á	{ ä } ÈÄ
Öä^Ä^ { ä!Á	{ * Ä SUP Ä	ÈÈí Á	ÈÈÄ	ÈÈ Ä	{ ä } ÈÈÄ
Öä^Ä^ { ä!Á	* Ä FÄ	FFí Á	FHÄ	FGÄ	{ ä } ÈFÄ
Ö[] •) Ö -Ää [] ä ä Ä^Ä^ Ä	Ä Á	FFÄ	FÄ	} ÈÄ	{ ä } ÈFÄ
Ö[] •) Ö -Ää Ä Ä^Ä^ Ä^Ä^ Ä	Ä Á	ŁÄÄ	ŁFÄ	} ÈÄ	{ ä } ÈÄ
T^Ä [] Ä	Ä Á	ÈÈÄ	ÈÈFÄ	} ÈÄ	{ ä } ÈÈÄ
T[] [*] & ä^Ä^	Ä Á	ÈÈÄ	ÈÈFÄ	} ÈÄ	{ ä } ÈÈÄ
Öä^Ä^ { ä!Á	Ä Á	ÈÈGÄ	ÈÈGÄ	} ÈÄ	{ ä } ÈÈÄ

Table 5: Fuel Parameters of the Biofuel Blends, Part 2

	HFRR	NN	PV	OS at 110 °C	OS at 140 °C	CCR	CN
Unit	µm	mg KOH / g	meq/kg	h	min	% (m/m)	-
Limit	< 460	2.0	-	≥ 20	-	< 0.30	≥ 51
ÖÖÁ	H Í Á	È È Á	G È Á	Ë Á	Í G Á	È È Á	Í G Á
ÖÖÉGEÁ Á ÖÖÈ ÓÁ	F Í H Á	È È J Á	G È Á	H È Á	Ì Í Á	È È Í Á	Í F Á
ÖÖÉHEÁ Á ÖÖÈ ÓÁ	F Í G Á	È È F Á	H È Á	G È Á	Ì J Á	È È J Á	Í F Á
ÖÖÉHEÁ Á P X U /	H Ú Í Á	È È Í Á	F È Á	G È Á	Ì Í Á	È È H Á	Í J Á
ÖÖÈ Í Á ÖÖÈ Ó Á É Á H Á P X U Á	F Í Í Á	È È J Á	G È Á	H È Á	J Í Á	È È Á	Í F Á
ÖÖÈ Í Á ÖÖÈ Ó Á É Á H Á P X U Á	F Í G Á	È È Í Á	H È Á	I F È Á	J Í Á	È È J Á	Í G Á

PÖÜÜÁPá ÖÈ ^ ~ ^ } & Á ^ & q | | & ää * Á a L Á à | ä ä L Á | | & ö ^ á Á, ^ ä ä Á & ä ä ä ä ä ^ ö | : & C • ä F È D ä ä Á É Á Ö L Á P Á Á P Á ^ É d ä ä ä ä } Á ^ { à ^ | L Á X Á Ü Á | | ç ä ^ Á K ä ^ ^ L Á Ü Á Á Ü ç ä ä ä } Á Ü ç ä ä ä ä ä L Á Ö Ü Á Á Ö | | ä ä • [] Á Ö ä ä [] Á Ü • ä ^ Á Ç | { Á È Á Á ä ä ç | ä ä } Á • ä ^ Á D Á Ö P Á Á Ö ä ä } Á ^ { à ^ | Á

Á

V @ Á ä | ç ^ Á } ä ä ^ ö | Á ä ä ä | | ç ^ • Á ö ä ö @ Á ä ~ ^ | Á | ^ } á • Á & |] | ^ Á ä Ö Á ^ ~ ä { ^ } • Á Á Ö Ö Á Ö P Á J E Á ç & | Á | Á Ç [È V @ Á ä ä Á | Á ^ } • ä Á ä F Í Á Ö Á ä ä Á ^ | ^ | Á ç & ^ á á Á ^ Á ö Á ä } | ^ Á Ö Ö É Á H Á Á Ö Ö È Ó Á } á Á Ö Ö É G E Á Á Ö Ö È Ó Á } Á ç ä ä ä ä ä ä ä ^ Á ^ Á ä ä Ö Ö È Ó Á | | [| ç | } Á • Ç , ^ á Á ä | , ^ | Á ä | ä ä Ä ç ^ Á Ç ^ Á ä | Á D ä ä Á | | [ç ^ Á ^ à | ä ä } Á | | ^ | ç • Á Ç ^ Á P Ö Ü É ä | ^ Á D & |] ä ä ä Á Ö Ö È È ^ Á ^ Á ^ È V @ Á ä & ^ ä ä Á & ç ^ Á ^ { à ^ | Ç ^ Á ä | ^ Á D | Á ö Á P X U È | } ç ä ä * Á ^ | Á ^ • ö ^ Á | ä ç á Á ^ ö Á ^ ä ä ä | ä È V @ Á ä ä ä ä } Á Á È Á P X U Á | Á ö Á ä ä É • ^ | Á ^ | Á á Á Á | | [ç ^ á Á } ä ä } Á ^ ä ä Á Á ö Á ^ | È Á

Á

Á

5.2 Set-up and Management of the Storage Tests

V@Á^c|{ ā āā } Á -Á@Á|] * É|{ Á cāāāc Á -Á@Áāā ~^|Á| ^} á•Á ā Áāā:ā áÁ ~ óā ~|ā * ÁāÁ]^|ā áÁ -Áí Á [] c@ÉQ| Ácāc@Á ā } |^•Á ^|Á^ d|^áÁāÁ&| |ÁÉÁÖÁc Á ^||Ác Áāāā} Áā É &^ā^áÁ^ {]^āē|^Á -Áí ÁÖÁ [} Áāē|^ā^Áā&|^|āē^áÁē^ā * ÉVāē|^Á Á ~ { { āā^•Ác@Á|^|Ácā} ó d|^ā^&| } āā } •ÉÁ

Á

Table 6: Storage Conditions of the Storage Study

Temperature	FÉÁÖÁ	HÍ ÁÖÁ Ácāā Áāē ^Á^Áí ÁÖÁ
Storage Containers	Ö ā Á d^•Á	Ö ā Á d^•Á
Quantity Stored	GÁē ^•Á	GÁē ^•Á
Storage Conditions	āā\ É ç ^áÉ [Áācā @Á •^āē * Á	āā\ Áā Áāc@āē^áÁāāā ^cÁí ÁÖÉí Ácā āā\ É ç ^áÉ [Áācā @Á^āē * Á
Storage Time	Fí Á [] c@Éā } ā * Ácē ^ÁÉíÁ Éí Éí Éí Éí Á [] c@Á	
Storage Start	ì Áí ^ÁÉFÉÁ	
Storage End	î Á^& ^ à ^ÁÉFFÁ	
Parameters Analyzed	Xā ~^ Ácāē āā } Éā & •ā É cāāā } Á cāāā ÁÜā &ā āá^d [Uc ÉÁ āāÁ { à ^Á ^ cā^Á { à ^Á ^ }^ •Á	

Á

Öā ~|^ÁÁ@, •Á^|Áā }|^•Á d|^áÁ Ác@Ácāē^áÁāā^ÉÁ



Figure 6 : Test Set-up of the Storage in the Heated Cabinet.

Á

V@Á āāā~ áÁā }|^•Á ^|Á^āē :^áÁā&| āā * Á Ác@Á•ó ^c@á•Áā c^áÁ Áāē|^Á ÉÁ

Á

Á

Table 7: Parameters of the Fuel Analytics

Parameter	Test Method
Ö\}•æ ÁæÁí ÁÓÁ	ÖÖÁÖPÁÜUÁFGÍ í Á
Så ^{ ææÁKä & •æ ÁæÁ ÉÁÓÁ	ÖEVT ÁÖÁ Éí GÁ
Ôæ íææÁæ~ ^Á	ÖÖÁ FJÉÉHÁ
Ô áÁÖæ!ÁU ** å * ÁU å óÁ	ÖÖÁÖPÁFÍ Á
Š` à ææ ÁæÁ ÉÁÓÁ Ç ^æÁ&æÁææ ^ç!ÁÈ DÁ	ÖÖÁÖPÁÜUÁFGÍ í ÈÁ
Uçæææ } ÁUæææç ÁæÁFÉÁÓÁ Uææ &æ æÁ^•óT ^ç@ áDÁ	ÖÖÁÖPÁFÍ í í JÁ
Uçæææ } ÁUæææç ÁæÁFí ÉÁÓÁ U^d UYÁ^•óT ^ç@ áDÁ	ÖEVT ÁÖÁ í í ÁÖPÁFí ÉJFÁ
Ô \^ÁU^•æ~ ^ÁÁ Ç { ÁÉÁ Áæ ç ææ } Á^•æ~ ^DÁ	ÖÖÁÖPÁÜUÁFÉHí ÉÁ
Ô^æ^ÁP~ { à!Á	ÖÖÁÖPÁÜUÁFí í Á
P^` dææææ } ÁP~ { à!Á	ÖÖÁFí í í È æóFÁ
Ú^! çæ^ÁP~ { à!Á	ÖÖÁÖPÁÜUÁUí ÉÁ
Ú ^ ^!ÁÖ } ç} óÁ	ÖÖÖÁÖPÁÜUÁFí JHFÁ

Á

5.3 Set-up and Measuring Technology of the Engine Tests

Ö| Á@Á } * å ^Á^•ó ÁæÁ^~ |æÁX| |•, æ^} Á| | á &ç } Á } * å ^ÁÖÜÁ&æÁá^ÉÖWÜUÁXÖÁ æ Á
[] ^!ææ áÁ } Á@Á^•óÁ^ } &ç| æÖá-^!^ } óæå ~ ^!Á|^ } á•ÉV@Á&ç æçÁææÁ Á@Á^•ó } * å ^Á
á Áæ ç áÁæ Áæá|^Á ÈÁ

Á

Table 8: Technical Data of the Test Engine

P` àÁ	Jí ÈÁ { Á
Ö å P ^Á	ì FÈÁ { Á
Öçæ•óÖæ ÁÉç!ÈV^æç ^} óÁ	ÖUÓÁ ÖÜÓÁ ÁÜÖÜÁ
Ò} * å ^Á æ^Á	l &ç å à!•Á ÁFí Áçç^•Á
ÒÖÜÁ	Ô ^ áÁçæ ç !^•~ ^!ÁÖÖÜÁ
ÒÖVÁ	Y æçKVÖÁ
Ò} * å ^ÁÖæ ææç Á	ÖÈÖç!ÁF Jí í Á Á
P { å çÁU , ^!Á	FÉHÁ Y ÁæÁ çççÁ å ÈÁ
T æÈV ^~ ^Á	HÖÉP ÁæÁFí í ÉÁ Áí çççÁ å ÈÁ

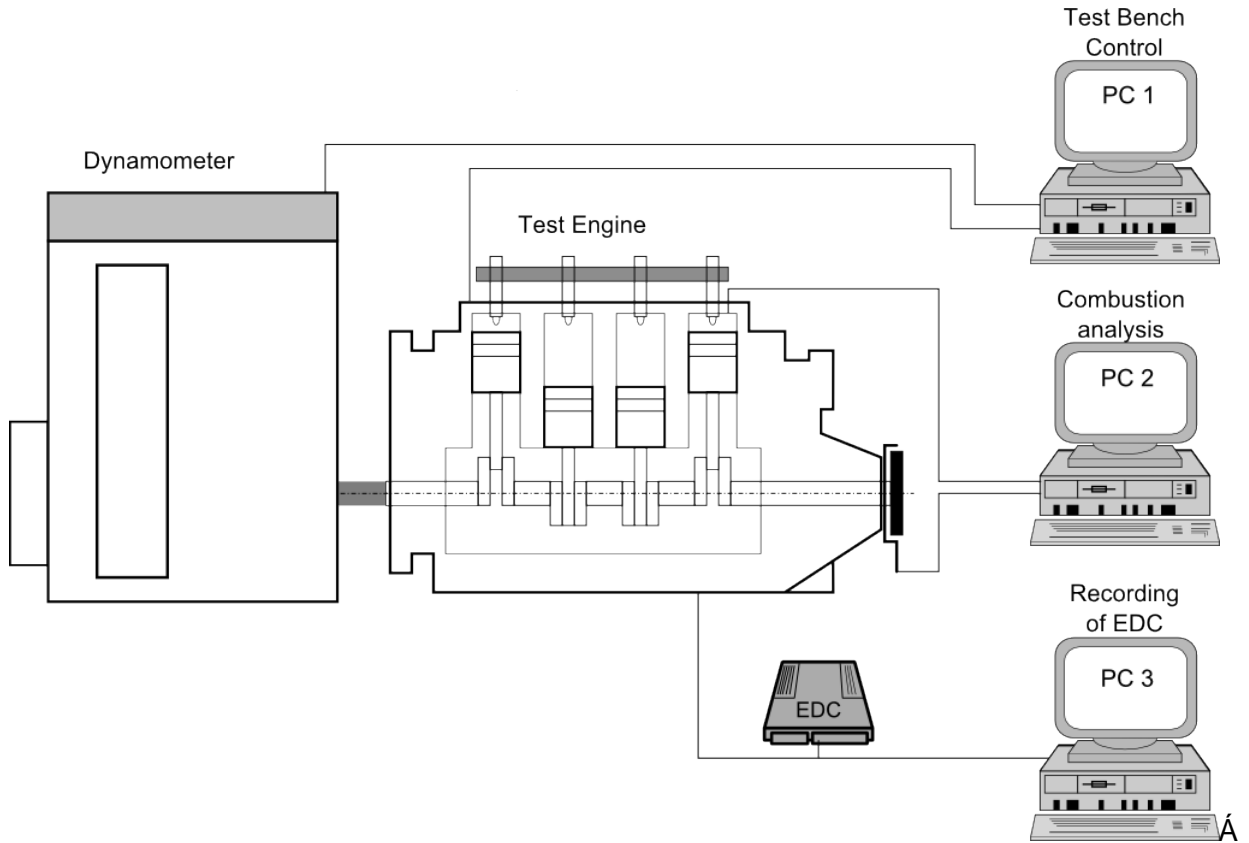


Figure 8: Diagram of the Test Bench Set-up Including Measuring and Control Technology.

Á
 V @ Á } * ä ^ Á ^ ä] Á ä & ä ä * Á @ Á ^ | ç ä ö | ^ • • ^ Á ä ä Á {] | ä æ | ^ Á ^ } • [| • Á ä Á ^ | | Á ä Á @ Á
 ^ ç @ ä • á æ Á ä ä] | ä * Á [ä ö Á | • ä æ á Á ä Á | | , • Á Á ä ~ | ^ Á | Á
 Ö Á Á æ ^ Á | Á ^ Á @ Á ç @ ä • á æ Á ä ä] | • Á ^ | ^ Á ä } Á ^ | | ^ Á ä á Á ä ! Á @ Á Ö Ü Ö ä • ^ | Á æ É
 ä & | æ Á ä | Á ä Á ^ | | Á ä Á ä Á @ Á Ü Ö Á ^ | ^ á Á ä æ ä Á á ^ & ä } Á

Á

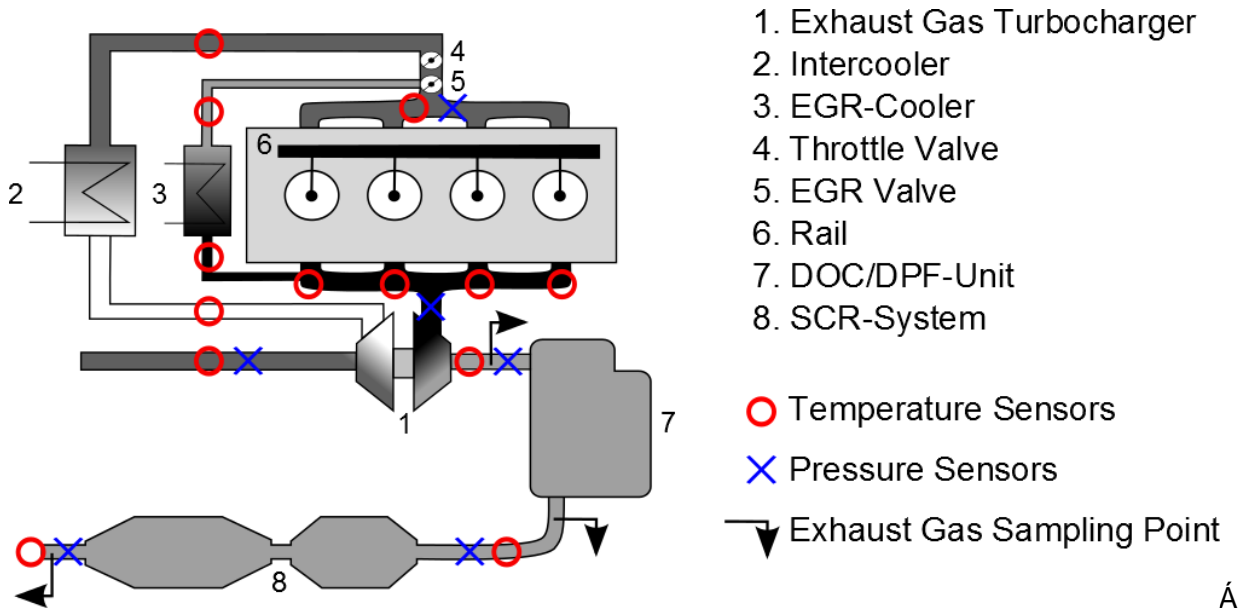


Figure 9: Engine Set-up with Measuring Points for Pressure and Temperature as well as Exhaust Gas Sampling Points.

Á

T^æ~|ä*Á@Á ææÁ^ { à^|Á Á@Á@æ•óæÁ æÁ æóÁ Á@Á@íÉ^|{ Á^}•ÉÖÁÁæ ^É
 , [|Á&[] áää }•Á^ |Áææ } æ^ Á] ^íææ * Á [ä • Áæ áÁæ[æáÁ •] Á ^íÁá^ ä^áÁQ^Áæá|ÁÉÁ
 æ áÁá^ |ÁÁFÁV@Áæ] |ä * Á [ä • Áæ^Á æ^áÁ Áá^ |ÁÁÁQ@æ•óæ Áææ] |ä * Á [ä • ÁÁ
 Q |Á@Á •] Á • óÉÁ[æáÁ •] Á ^íÁÁ&[íááÁæ áÁæ^íæ^áÉ

Á
Table 10: Measuring Points for Particle Counting.

Measuring Point	Engine speed / min ⁻¹ Á	BMEP / barÁ
FÁ	FíííÁ	FÉÉ Á
GÁ	FíÉÉÁ	HÉÁ
HÁ	GÉÉÉÁ	HÉÁ
I Á	GÉÉÉÁ	î É Á

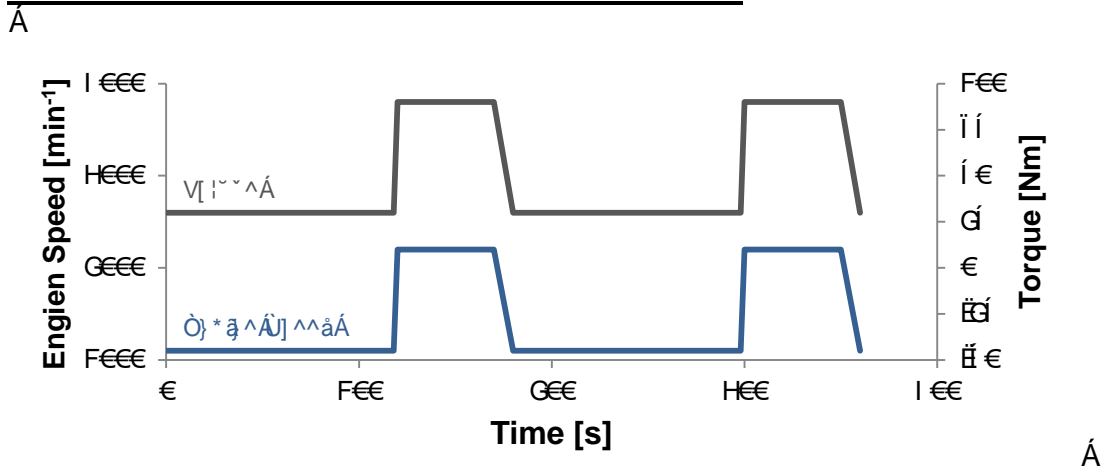


Figure 11: Torque and Speed Curve during the Step Test Measurement.

V@Á^} @æÁ * ä^Á àíææ } Á äá] |{ ^} óáÁ æ ÁQ |{ ~ |æÁ&[] * ŠáÁY ÉÉÖÁ íá^|Á Á
 { [] ä |Á Á^ æáÉ Éææ] |•Á Á@Á àíææ } Á äá ^íÁæ^ Áæé|Áó^|Á @íÉ^|{ Á^} Áæ áÁ
 æ æ : ^áÁ æÁ^ æáÁ Á@Á ææ ^óÁ Áó áÁ Áæá|ÁFÉÁ

Table 11: Selected Parameters for the Analysis of the Lubrication Oil.

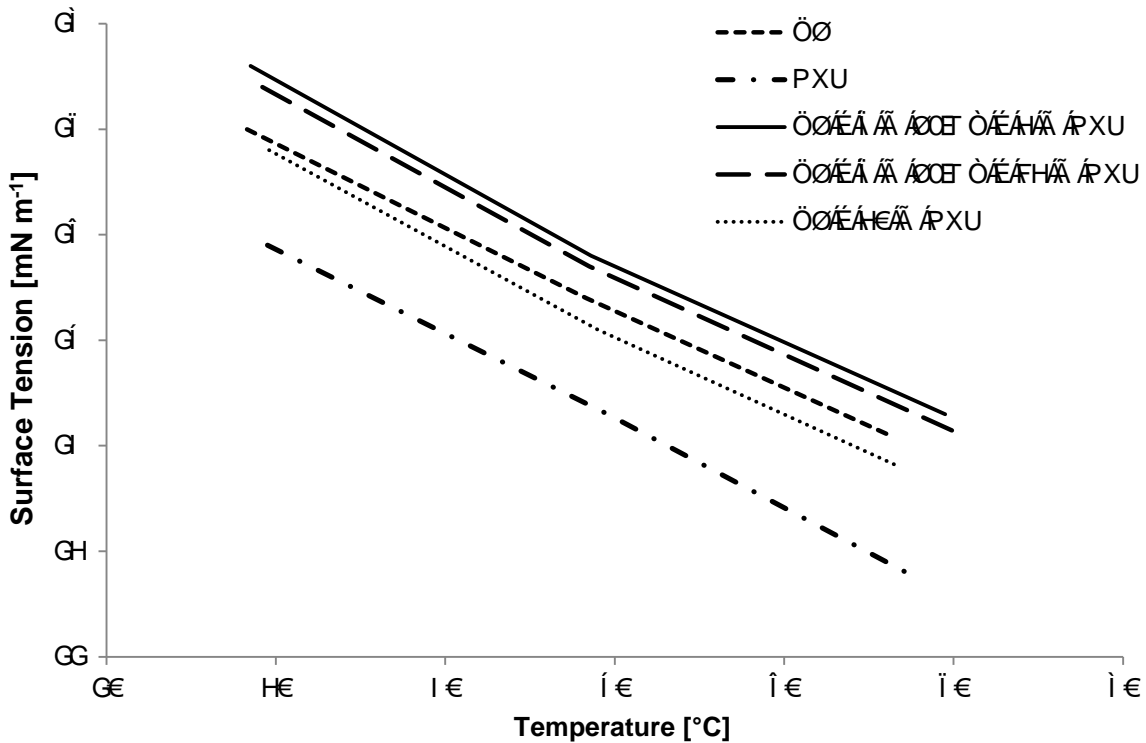
Parameter	Unit	Test Method
Sä^ { æáÁ&[• ä ÁæÁ ÉÁÖÁ	{ { ÞÁ	ÖÜVT ÁÖÁ É GÁ
V[çÁÖæ^Á^ { à^ Á	{ * ÁSUPÞÁ	ÖÖÁÜUÁíí FÁ
Þ^ dæá æá } Á^ { à^ Á	{ * ÁSUPÞÁ	ÖÖÁ Fííí ÁFÁ
Ù[[ó[] ó } ó	Á Á	ÖÖÁ Fíí GÁ
Ø^ Á[] ó } ó	Á Á	Q+æ^áÁ^@äÁ

V@Á^} áää } Á Á@Á àíææ } Á äá æ] |•Á æ Áæáää } æ^ Áæææó^íááÁ Á@Áæ æ • ä Á Á
 @Á ^æÁ ^çÁ Á àæá Á] |íææ óá] |{ ææ } Á Á@Á : | | • ä^ Áæ áÁæ|Áæáæ ä^Á ^æÉV@Á
 , ^æÁ ^çÁ Áæ Á |Áæ Á@Áæáää^Á&[{ [] ^} • Á Á@Á àíææ } Á äá æ] |•Á ^íÁá^óíÉ
 { ä^áÁá^&d^ Á^ { ä • ä } Á] ^&d[[^d^ Á æÁ á^ &ç^ | Á^] |áÁ æ { æÖÜÉÜÖUÁ&[íáÉ
 ä * Á ÁÖÖÁÞÁ FHUJÉÉÁ

Ø^ |ó[{ [|ÁÉ@Á&[] ó } ó Ááá ^íÁæá áÁ] |{ ^íÁ Á@Á àíææ } Á äá æ Áæ^|{ ä^áÁ^ Á
 { ^æ • Á ÁÜÜÖÖÁ&[íää * Á ÁÖÖÁÞÁÜUÁíí JHFÉÁ

V @ Ä ^ ~ | ƒ Ä Ä @ Ä ^ - æ ^ Ä ^ } • Ű } Ä Ä @ Ä Ű ~ ^ | Ä | ^ } ä • Ä ^ ^ } ä ^ } ƒ } Ä @ Ä P X U ÄŰ } & ^ } d æ Ű } Ä æ ^ ÄŰ ~ • d æ ^ ä Ä ~ | ^ Ä | Ä Ä Ä ||| , • Ä

Ä



Ä

Figure 14: Surface Tension of the Diesel Fuel/HVO Blends Dependent on the Temperature.

Ä

V @ Ä ^ i ç ^ Ä Ű ä æ æ Ä @ Ä ~ | ^ Ä P X U Ä @ Ä ä } ä æ d Ä | , ^ | Ä ^ - æ ^ Ä ^ } • Ű } Ä @ Ä Ä ä • ^ | Ä ^ | Ä V @ Ä ^ æ ~ | ä * Ä ^ ~ | ƒ Ä | Ä @ Ä ^ | Ä æ] | • ÄŰ } æ Ű ä * Ä ÄÄÄ ÄPXUÄÄÄ ä @ Ä @ Ä æ ^ Ä ä * ^ Ä æ Ä @ Ä ^ ^ } & Ä ä • ^ | Ä ^ | Ä V @ Ä ^ ~ | ƒ Ä Ä @ Ä ^ ç æ ƒ ä Ű ~ ^ | Ä | ^ } ä • Ä ä @ CCE ÖÄ ä ä P X U Ä • | ä @ Ä ç & ^ ä ä Ä @ • ^ Ä Ä @ Ä ä • ^ | Ä ^ | Ä @ Ä ä Ä Ä ä ä ç ä Ä Ä @ Ä @ Ä ^ - æ ^ Ä ^ } • Ű } Ä [Ä @ Ä CCE ÖÄŰ } æ Ű ä ÄÄ

Q ÄŰ } & ^ • Ű } Ä Ä ä Ä Ä Ä æ ä Ä @ Ä ~ | ^ Ä P X U Ä ä Ä ^ | Ä ä Ä @ Ä ä æ] | ^ Ä ä @ Ä Ä P X U ÄŰ } ç } ƒ Ä HEÄÄ Ä @ , Ä ^ ç | Ä ç æ [| ä Ű } Ä Ä @ Ä ~ | Ä ä Ä @ ÄŰ { ä • ç } Ä & ç ä ^ | Ä V @ Ä ^ ä ^ & ä Ä ~ | æ ^ Ä ç } • Ű } Ä Ä @ Ä ^ | Ä æ ^ • • Ä { æ | Ä Ä [| | ^ ƒ ä ä Ä • Ä @ Ä ^ ~ | ƒ Ä Ä ä ä Ä | ä Ű } • @ Ä ä ç ^ ^ } Ä @ Ä ^ | Ä ^ - æ ^ Ä ^ ä Ä [| { ^ Ä V @ Ä ä Ä ç æ Ä ç æ [| ä Ű } Ä ä ÄŰ { ä • ç } Ä Ä ÄŰ [| ç ä Ä @ Ä @ • Ä | ä • | ƒ Ä Ä @ Ä ^ ä & ç } Ä Ä ç ç • ç æ Ä { ä • ç } • ÄÄ

Ä

6.1.2 Distillation Characteristics

Q ä ä ä } æ Ű - | { ä Ű } Ä } Ä @ Ä ç æ [| ä Ű } Ä ä ÄŰ | ä Ä ç æ Ä Ä @ Ä ~ | Ä Ä Ä ^ | Ä Ä ä ç æ ^ ä Ä ^ Ä Ä Ä Ä @ Ä ä ç ä } Ä & ç æ ç ä ä ç ä ECE Ä ä ƒ Ä @ Ä | | ƒ & Ä @ Ä ä | ä ä * Ä & ç æ ç ä ä ç ä Ä Ä @ Ä ^ | Ä ^ - ^ | Ä ^ Ä Ű ä ä ä ä ä ä ä ä ä * Ä Ä Ä O Ä O P Ä U Ä H I E Ä ä @ Ä @ Ä Petrotest Ä ä ç ä Ű } Ä } ä Ä [ä | Ä OÖW E P ^ | Ä @ Ä ä | ä ä * Ä ^ i ç Ä æ Ä Ä & | ä ä Ä Ä @ Ä ä ç | { ä æ Ű } Ä Ä @ Ä ^ ^ } ä ^ } & Ä Ä @ Ä & } ä ^ • ^ ä Ä [| { ^ Ä Ä ä Ä [{ Ä @ Ä ^ ç æ ƒ ä | ä ä * Ä Ä { | ^ æ | ^ Ä O Ä Ä ^ ^ | ä Ű } | ä • Ä Ä Ä E ä | & ç ä } • Ä @ Ä @ Ä | ä ä * Ä Ä { | ^ æ | ^ Ä & ^ æ ^ • Ä Ä @ Ä @ Ä Ä } • @ Ä & ^ æ ^ Ä

V @ Ä ä ç ä Ű } Ä & ç æ ç ä ä ç ä Ä Ä ä • ^ | Ä ^ | Ä CCE ÖÄ ä ä Ä @ Ä ^ ç æ ƒ ä ä • ^ | Ä ^ | Ä CCE ÖÄŰ } ä • Ä æ ^ Ä { { æ ä ä Ä Ä ~ | ^ Ä | Ä Ä Ä ||| , • Ä

G

Table 13: Visual Evaluation of the Samples Stored at 10 °C.

FuelÁ	Initial Sample (t = 0 d)			Final Sample (t = 517 d)
	Appear- anceÁ	ColourÁ	SedimentsÁ	Remarks
ÖÖÁ Á Á	&^æÁ Á Á	^ ^ , É ã @ ^ Á ! ^ ^) Á Á Á	ã d ^ Á Á Á	, @ ^ Á æ ^ ! Á } Á [d É d { É @ ! , ä ^ Á } É & @ ^ ^ á Á
ÖÖÉÁÉÁÉÁ ÁÚÖÉ ÖÁ	&^æÁ	^ ^ , É ã @ ^ ä ! ^ Á & [^ ! Á	ã d ^ Á	, @ ^ Á æ ^ ! Á } Á [d É d { É @ ! , ä ^ Á } É & @ ^ ^ á Á
ÖÖÉÁÉÁÉÁ ÁÚÖÉ ÖÁ	&^æÁ	^ ^ , É ã @ ^ ä ! ^ Á & [^ ! Á	ã d ^ Á	æ ^ ! Á } Á [d { É @ É ^ ! , ä ^ Á } & @ ^ ^ á Á
ÖÖÉÁÉÁÉÁ ÁÚXUÁ	&^æÁ	^ ^ , É ! ^ ^) Á	ã d ^ Á	æ ^ ! Á } Á [d { É @ É ^ ! , ä ^ Á } & @ ^ ^ á Á
ÖÖÉÁ É Á ÁÚÖÉ ÖÉÁÁ HÁÁ ÁÚXUÁ	&^æÁ	^ ^ , É ã @ ^ Á * ! ^ ^) ä @	ã d ^ Á	æ ^ ! Á } Á [d { É @ É ^ ! , ä ^ Á } & @ ^ ^ á Á
ÖÖÉÁ É Á ÁÚÖÉ ÖÉÁÁ FHÁÁ ÁÚXUÁ	&^æÁ	^ ^ , É ã @ ^ Á * ! ^ ^) ä @	ã d ^ Á	æ ^ ! Á } Á [d { É @ É ^ ! , ä ^ Á } & @ ^ ^ á Á

Á

Ö ^ Á Ú Á ä ~ æ Á ç æ æ } Á [Á ^ Á ç æ ç á ä ~ ^ ! ^) & ^ Á Ú ~ | ä Á ^ Á ^) ç ä á Á æ ç ! Á æ d | æ ^ Á ^ ! ä á Á Á
Fí Á [] @ Á æ Á É Á Ö É V @ Á æ } ^ æ æ & Á Á @ Á æ } | ^ Á d | ^ á Á æ Á æ Á ! æ ^ Á ç [] ^ ! æ ^ Á Á Á
Gí Á Ö Á ä Á [d @ , Á æ ^ Á ä } ä æ æ & @ ^ ^ á Á æ @ | É Á

V @ Á ^ ˆ | ˆ Á ˆ @ Á æ æ æ ^ ä Á ^ ç á á Á ^) á } d | æ ^ Á ç [] ^ ! æ ^ Á æ á Á æ ^ Á ^ Á | ^ É
^) ç á Á æ Á ||| , É Á

Á

6.2.1 Oxidation Stability

Ö ! Á @ Á | | b & d f @ Á ç ä æ æ } Á ç ä æ æ Á Á @ Á ä ~ ^ ! Á ^) á Á æ Á æ æ : ^ á Á ^ Á ^ æ ^ Á Á ç [Á
^) æ æ Á ^ ç á á Á @ Á æ ^ Á æ ^ á Á } Á ä ^ ! ^) d ^ æ ~ | ä * Á | ä ä | ^ Á

V @ Á Ú æ ä æ ^ ^ ç á á Á æ & ! ä ä * Á Á Ö Ö Á Ö Á Fí | | F Á ä ~ & ^ Á @ Á @ | { æ Á æ ^ á * Á Á @ Á æ É
| ^ Á Á Á ä Á ~ | | ^ Á É Á Ö Á F É Á Ö Á } á @ Á ^ & } á æ Á ç ä æ æ } Á | | á & @ Á æ Á æ | Á ^ ç & ç á Á
à ^ Á } ç [~ ^ Á } á & ç á Á ^ æ ^ ! ^) ^ Ö U [Á @ Á | { æ } Á Á ç [| æ Á É ^ Á & ç æ Á } á & É
ç ^ Á } [] ^) ^ Á Á | ^ ! æ ^ Á | Á @ Á ^ ç á á Á @ Á } | ^ Á á æ ^ Á | Á Ú Ö É Ö Á } á Á Ú Ö É Ö Á
à ^) á Á æ @ Á ^ Á ^ Á ^ Á } | ä ä * Á Á @ Á ç á á Á É Á ^ ~ | ç @ Á [É æ ^ Á Á ^ d [U Y Y Á ^ ç á á
ç U V T Á Ö Á | | Á Á Ö Á Fí É F D Á æ Á | | ^) ç á Á | Á @ Á æ æ ^ ä Á Á @ Á ^ ! ^) & Á ä ^ Á | Á Á
^ | Á Á Á | Á ä ä ä } æ Á ^ Á Á @ Á ä ~ ^ ! Á ^) á Á É Ö & ! ä ä * Á Á @ Á ^ ç á á Á @ Á } | ^ Á Á @ æ É
^ á Á Fí É Á Ö Á Á } Á ç ^ ^) Á æ [.] @ ! ^ Á Á æ É Á & ! ä ä * Á ç ä æ æ } Á ^ æ ç } Á ^ æ Á Á | ^ É
^ ! Á Á ^ Á æ ^ Á æ @ Á ^ ^ ç { Á @ Á Á ä ^ d ^ Á | æ á Á Á @ Á ç ä æ æ } Á ç ä æ æ É Ö Á @ Á | É
| , ä * Á ^ & } Á @ Á á ä ä æ æ Á ^ ˆ | ˆ Á ˆ @ Á ^ ç á á Á ^) ç á Á

Í É É É Á Ú æ æ æ ^ ç á á Á

Ö Á ^ ! ^) & Á æ } | ^ Á | ^ Á Ú Ö É Ö Á ~ ^ ! Á æ Á ç ^ ! æ ^ Á ç ä ä ä } æ | Á d Á @ Á d | æ ^ Á ç á É Ö Á
^ æ Á Á Á æ ~ ^ á Á @ Á @ Á æ } | ^ Á ^ ! Á @ Á [. d ^ Á | Á Á ç , Á ä } ä æ æ d | ç ä æ æ } Á ^ æ É
ç } É Á ^) ^ | æ Á Á æ Á ç á á Á ~ ^ Á Ú Ö É Ö Á @ , ^ á Á @ Á | , ^ Á ç á á Á @ Á æ } | ^ Á á @ Á
Ú Ö É Ö Á } á Á Ú X U Á } ç } Á Ö Ö É Á É Á Ú Ö É Ö É Á H Á Á Ú X U Á Ö É Á É H Á Á Ú X U Á @ Á
@ @ ^ d | ç ä æ æ } Á ç ä æ æ É

Ö Á Á } d æ á Á Á ç á Á Fí É | Á [^ Á Á @ Á æ } | ^ Á d | ^ á Á æ Á æ Á ! æ ^ Á ç [] ^ ! æ ^ Á Á Á
Gí Á Ö Á ä } ä æ æ & @ ^ ^ á Á ^ ! Á ^) ç ä á Á ä ~ ^ ! Á ^) ç ä á Á æ ç ^ Á Á @ Á d | æ ^ Á Á Á @ Á } | ä á Á

Figure 17: Oxidation Stability of the Biofuel Blends at 110 °C (Rancimat) Dependent on the Storage Time at 25 °C.

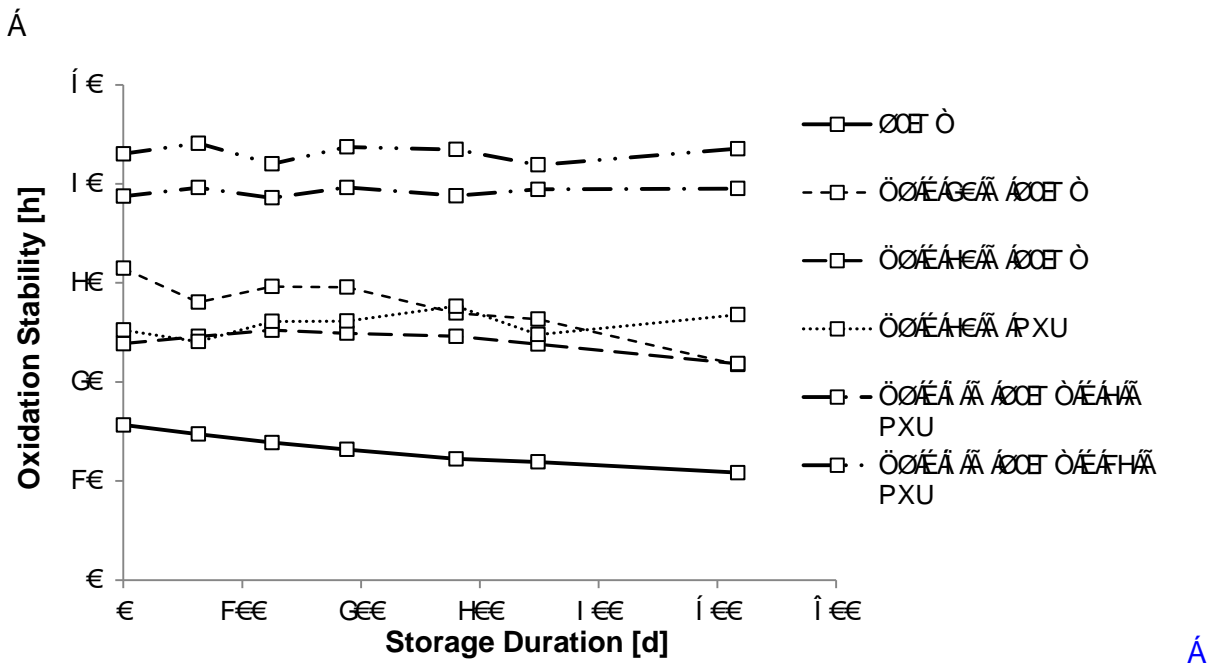


Figure 17: Oxidation Stability of the Biofuel Blends at 110 °C (Rancimat) Dependent on the Storage Time at 25 °C.

Figure 18: Oxidation Stability of the Biofuel Blends at 110 °C Dependent on the Storage Time at 10 °C.

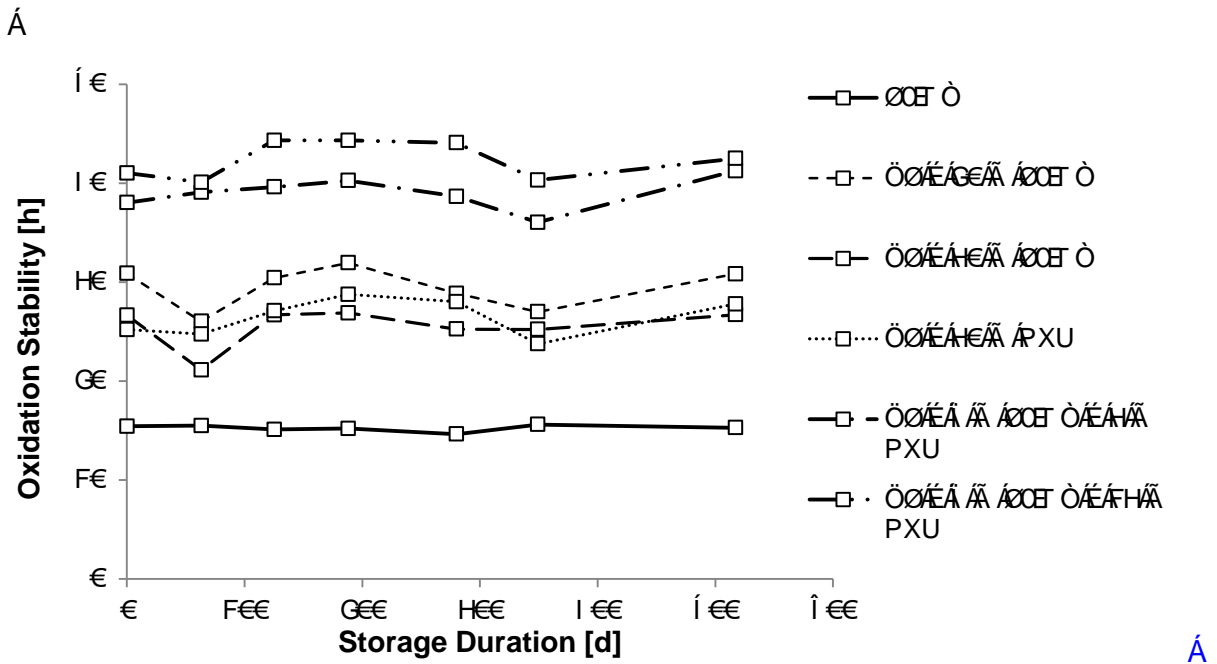


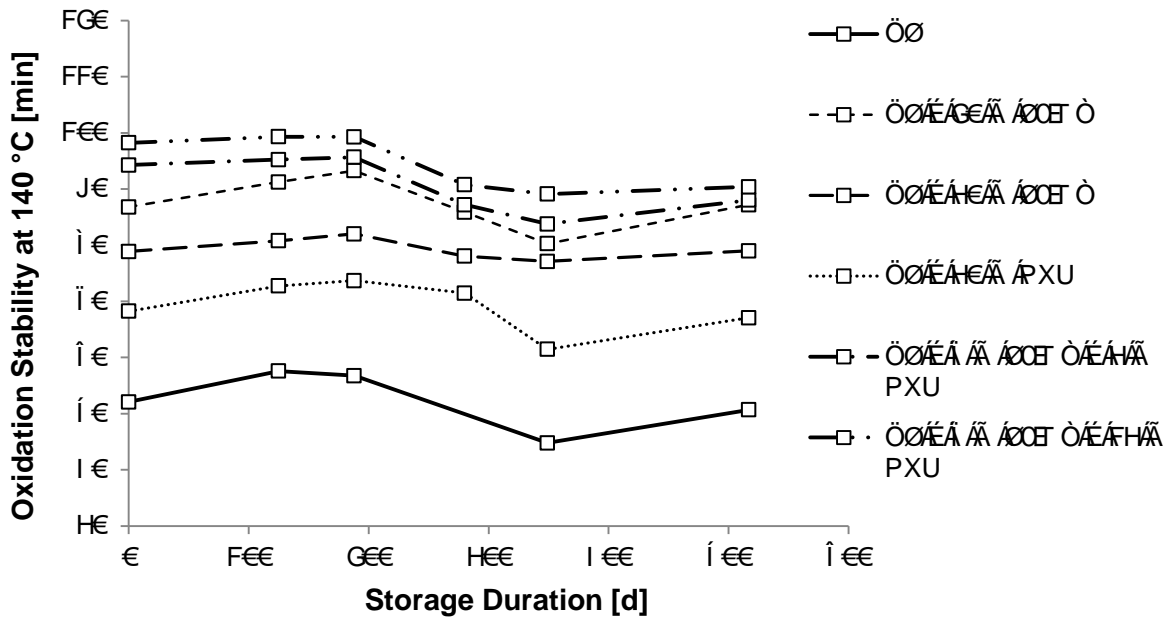
Figure 18: Oxidation Stability of the Biofuel Blends at 110 °C Dependent on the Storage Time at 10 °C.

Š [|] ā * ÁæÁ@Á&~ |ç^• Á^ç^æ^ Á@æÁ@ |^ Áæ^ Á [Á ā } āāāā ā&@ā * ^• Á^ç^ ^} Á@Áā āāÁāā āÁ
 c@Áā āā cāāā } Á cāāāā • Á -Á@Áā ~ ^|Á| |} ā• Á• ç^ āÉV@Á^ç^āā } • Á & ||^ āÁ ^|^ Á ā@ Á
 c@Á ^c@ āq Á^ ^ææāāc ÁÁVÁÉGEGÉ ÁÉÁÉÁ H | ÁçÉV@• Á [Á& ||^āā } Á æ Áā^ cāā āÁÁÉ
 ç^ ^} Á@Á cāāā } Á cāāāc Áā āÁ@Á d |æ^ Áā ^ÁæFÉÁÓÉÁ

Í ÉÉÉÁ Ú^d [UYŸÁ^c@ āÁ

Øā ~ |^ ÁJÁ @ , • Á@Á cāāā } Á cāāāā • ÁæFÉÁÓÉÁ^ |} ā^ } Á@Á d |æ^ Áā ^ÁæFÉÁÓÉÁ
 { | | , • Á

Á



Á

Figure 19: Oxidation Stability of the Biofuel Blends at 140 °C (PetroOXY) Dependent on the Storage Time at 10 °C.

Á

QÁ Áā] æ^ } Á@æÁ@ Áā • ^|Á^ |Á @ , • Á@Á [, ^• Á cāāā } Á cāāāc Áā |ā * Á@Á } cā^ Á• cÁ
] |ā āÉV@Á ~ |} |ā ā * ÁæÁ&~ |āÁ [cā^ Á^• [|ç^ āÁā |ā * Á@Á&~ |• ^Á Á@Á | | b&cÉPā @ |Á
 [cāāā } Á cāāāc Á@æÁ^ } Á ç^ ^ç^ āÁ | Á@Á^ | ^} & Áā • ^|Á^ | ÁÇÉÉ āç^ cāā ÁÇÉÉ ÓÁ
 & [ç^ } Á@æÁ ā & ÁÁāāÁ [cÁ&] cāā Áā ^ Á& [] | ^} Áæā Á | | ^ Á | Á cāāā } ÉQÁ& [] cāā
 • [] ÉÁ@Á æ] |• Á&] cāā ā * ÁÇÉÉ ÓÁ @ , ^āÁ@ @ | Á cāāā } Á cāāāc Áā ^ ÁÁ Á@āÁ |ā | ÁāāÉ
 cāāā } Á ā@āā cāāā cÁ

V@Á@ @• Á cāāā } Á cāāāc Á æÁ ^æ~ |^ āÁ | Á@Á æ] | ÁÇÉÉ Á ÁÇÉÉ Ò/ÉÁHÁ ÁPXU çÁ
 QÁāāāā } ÉÁā æ Á^c | { ā^ āÁ@æÁ [] ^Á -Á@Áā ~ ^|Á| |} ā• Á @ , ^āāā ^ Áā } āāāā cÁ@ā * ^• Á
 ā^ |} ā^ } Á@Á d |æ^ Áā ^Á@Á^ç^āā } • Á -Á@Áā æ^ • ā Á^• |• Á ^|^ Á ā@ Áā } * Á -Á
 c@Á^ ^ææāāc Á -Á@Á ^æ~ |ā * Á ^c@ āÁ Á ÉÁ

V@Á^ç^ | [] { ^} Á@Á cāāā } Á cāāāc • Á -Á@Áā ~ ^|Á æ] |• Á d | ^āÁçÍ ÁÓÁÁ | • cāāÉ
 ^āÁ Áā ~ |^ ÁÇÉÉ Áā cāā æ^ āÉā Áā | ^} & Á -Á@Á & ^æ^ āÁ d |æ^ Á^ [] |æ~ |^ Á | Á@ÁÉ
 • |ç^ * Á cāāā } Á cāāāc Áā ÁÁ [cā^ āÉV@ | ^ | ^ Éā } āāāā cÁ@ā * ^• Á&~ |āÁ^ Áā } cāā āÁ
 | ÁÁÁæ] |• ÉÁ

Á

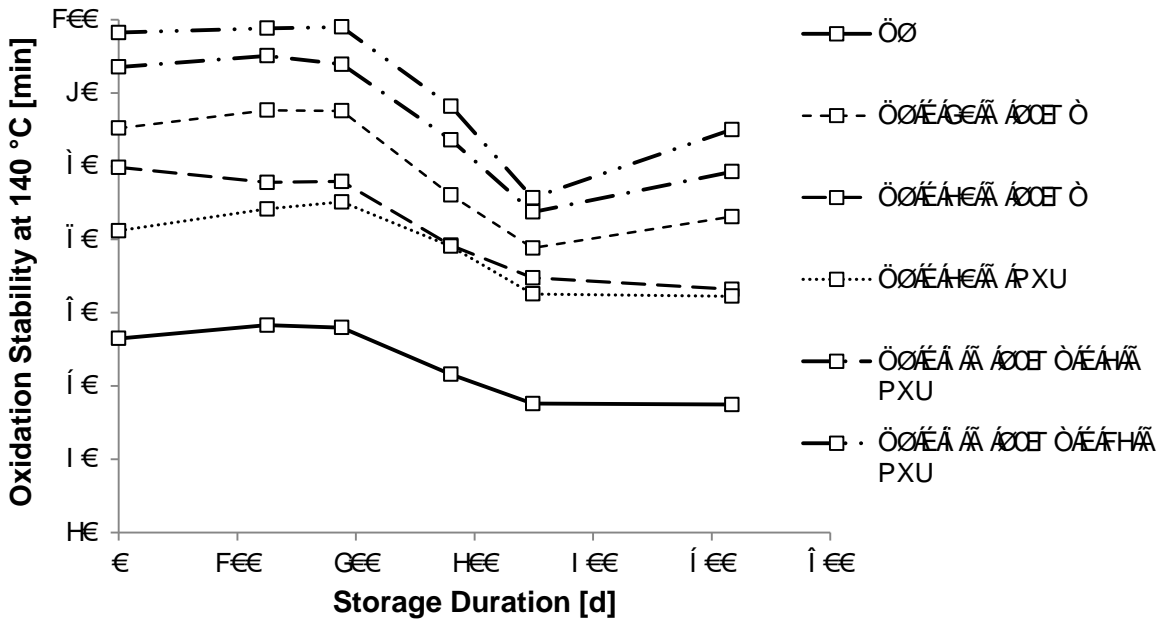


Figure 20: Oxidation Stability of the Biofuel Blends at 140 °C (PetroOXY) Dependent on the Storage Time at 25 °C.

Österreichische Akademie der Wissenschaften
 Institut für
 Ökologische
 Wirtschaftsforschung
 und
 Nachhaltige
 Entwicklung
 (ÖWU)

6.2.2 Neutralization Number

Neutralization number (NN) is a measure of the acid content in a fuel. It is defined as the amount of base required to neutralize the acid content of a fuel. The NN is expressed in milligrams of potassium hydroxide (KOH) per gram of fuel. The NN is an important parameter for the stability of a fuel, as a high NN indicates a high acid content, which can lead to corrosion and other problems. The NN is determined by titrating a known amount of fuel with a known amount of base. The endpoint of the titration is reached when the color of the indicator changes. The NN is then calculated from the volume of base used and the concentration of the base.

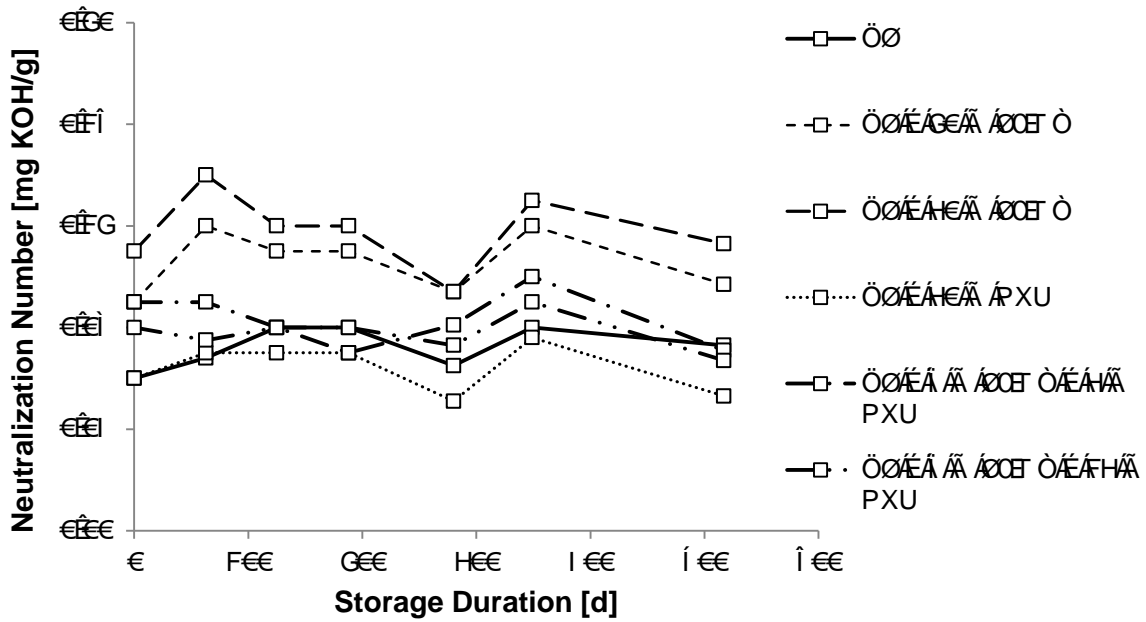


Figure 21: Neutralization Number of the Biofuel Blends Dependent on the Storage Time at 25 °C.

Á

ÖÖ ÁÚ c á Ú æ á Á@ ÁÚÚÚ ÖÁÚ } c á Ú * Á^· Á @, ^ á Á@ Á@ @ · d Á ^ d á Ú } Á { á^ ÁÚ { É] æ^ á Á@ Á@ Á@ Á@ ~ ^ Á^ Á^ á · ÉV @ Á@ @ Á@ ÁÚÚÚ ÖÁÚ } c } d ÁÚ æ] | Á@ Á@ @ Á@ Á { ^ d á Ú } Á { á^· Á^· | c * Á@ Á^· [L Á @ ÁÚ Á@ Á, ^ · d Á æ^ | á * Á^· | 0 Á Á^ Á@ · Á Á [Á@ ÁÚÚÚ ÁHEÁÁ ÁPXU d á] | ÁÁ

V @ Á æ] | Á^ Á d | Á á Á@ ÁÉÁ ÖÁ @, Á á á á á Á^ Á^ [] { ^ } d Á ^ Á á ^ | Á ÁGGÁÁ

Á

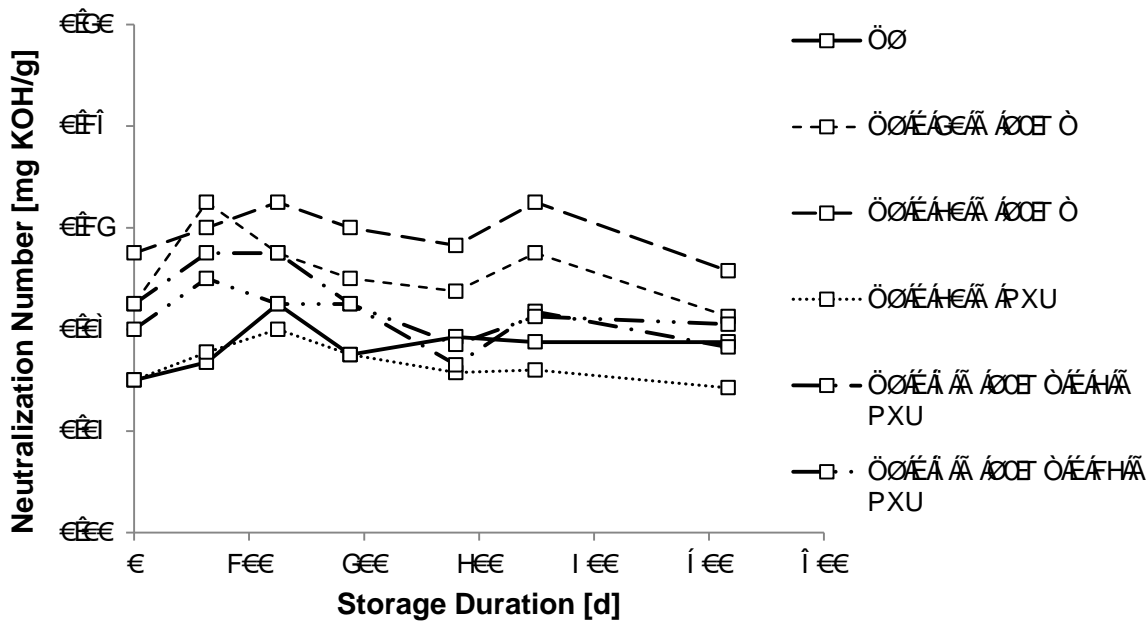


Figure 22: Neutralization Number of the Biofuel Blends Dependent on the Storage Time at 10 °C.

Á

V @ Á & | ç · Á | · d æ Á @ Á á | á * Á@ Á · d | Á á á Á Á F Á Á á · Á [Á á] á á á d Á @ * Á^ Á Á@ Á { ^ d á Ú } Á { á^ Á & || ^ á Á^ Á^ } á^ } d Á d | æ^ Á á Á á Á } | Á æ | Á Á

6.2.3 Viscosity

Figure 23 and Figure 24 show the kinematic viscosity of various biofuel blends over a storage duration of 0 to 120 days at 25 °C and 10 °C, respectively. The y-axis represents Viscosity [mm²/s] and the x-axis represents Storage Duration [d].

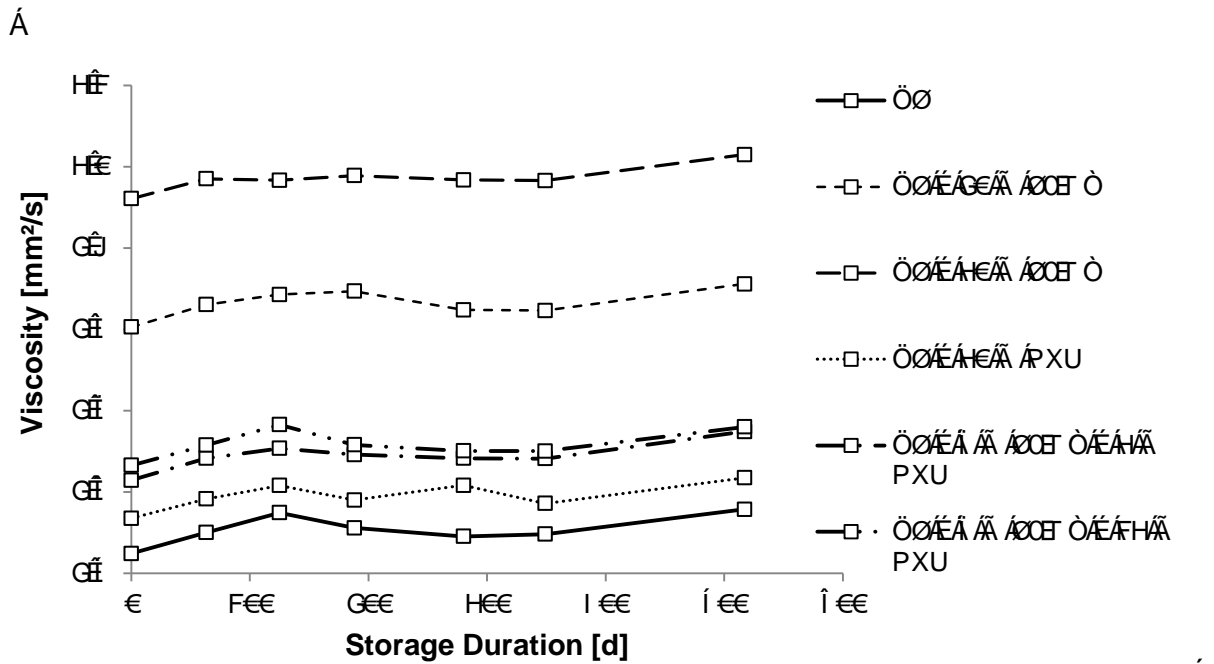


Figure 23: Kinematic Viscosity of the Biofuel Blends Dependent on the Storage Time at 25 °C.

Figure 24 shows the kinematic viscosity of various biofuel blends over a storage duration of 0 to 120 days at 10 °C. The y-axis represents Viscosity [mm²/s] and the x-axis represents Storage Duration [d].

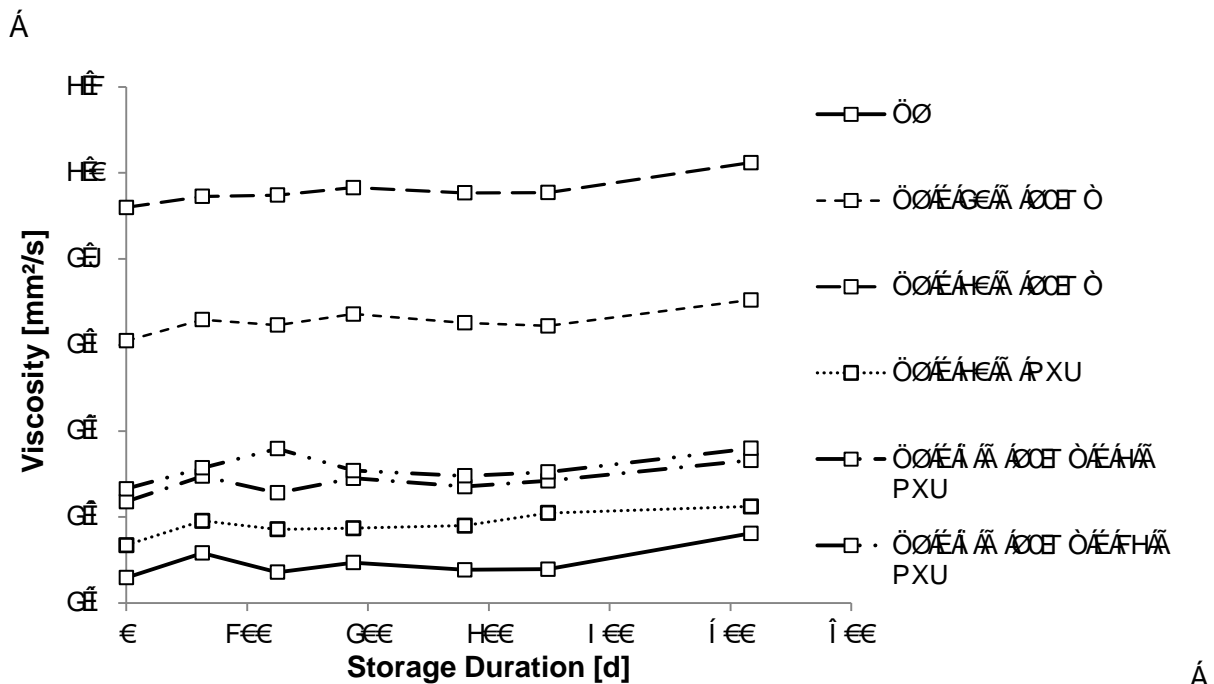


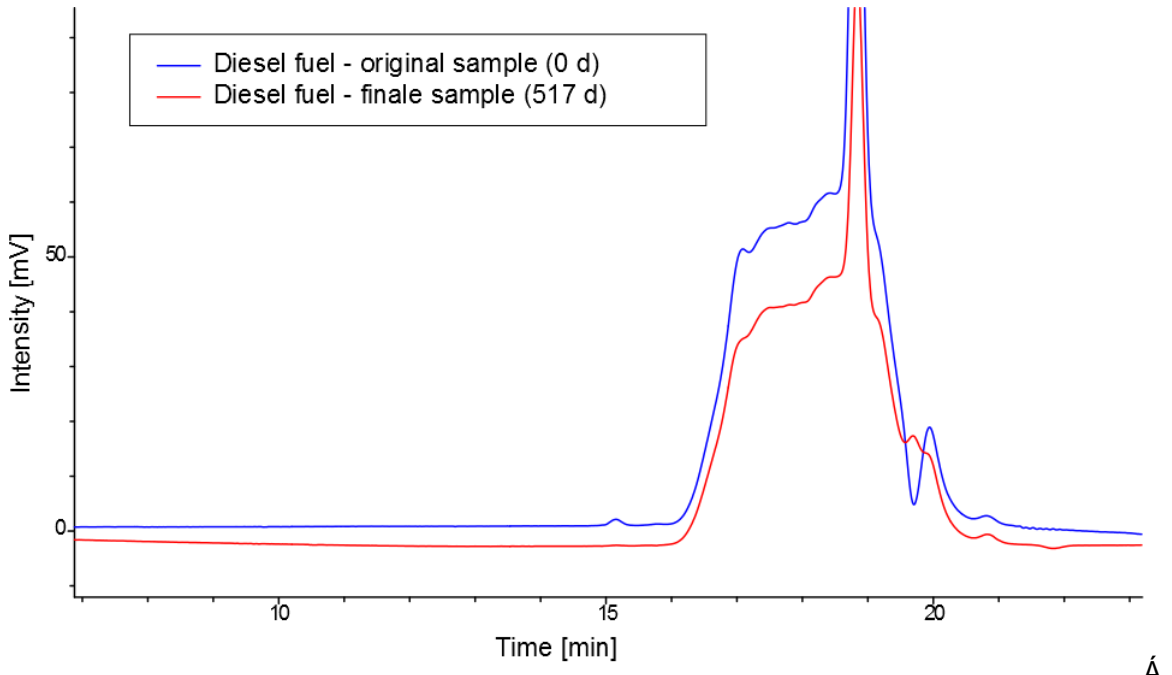
Figure 24: Kinematic Viscosity of the Biofuel Blends Dependent on the Storage Time at 10 °C.

Ö~^ÁŒ Á@áÁ@ @!Á [|&~ |æÁ æ•ÉPÚÚÓÓÁæ æ•ã ÁÁ^ĉ&• Á |ã [{ ^!Œ [] { ^!ÁŒ {] [] ^ } • Á
-ã•ŒÁÉÁ@ |ĉ!Á^ĉ} ĉ} Á^!ã á•ÁŒÁÉÁ ħ DŒ [] æ^ÁŒ Á@•^Á Á@Á^Œĉæ Œ [] [{ ^!Á
ŒŒŒ ÓÁŒ [] [] ^ } •ÉÁ

ŒŒŒ |ãã * | Á Á@ , } Á@ | ĉ^Á Áã~!^ÁĜ Á Á [Á |ã [{ ^!Áæ æŒ!Á [] { ^!ÁŒ {] [] ^ } • ÁŒ~ |ãÁ
à^ÁŒ!ãã áÁŒ | Á@ÁŒŒŒ ÓÁæ] |^ÁŒ |^áÁŒ | Á FÍ Áãæ•ÁæÁæ ÁæŒ!æ^ÁŒ } |^!æ~!^ÁŒ ÁĜ ÁÓÉÁ
ŒŒŒ * @Á@ Á ĉããã^Á^& {] [•ãã } Á Á@ÁŒŒŒ ÓÁŒ~ |ãÁ^ÁŒ!ãã áÁ~^ÁŒ Á@Á^&^æ ħ * Á
[ĉããã } Á çããã ÁĜ^Áã~!^Á FÍ Œ@ÁŒŒŒ } Á | | á &• ÁŒ | { ^áÁŒ ^!^Á^Œ } Á [] { ^!áãã } Á
] | | á &• ÉÁ

V@Á^•~ |• ÁŒ | Áã•^!ÁŒ ^!Áæ] |^•ÁŒ |^áÁŒ ÁŒÁŒ àçãã^áÁŒ ÁPÚÚÓÓÁæ æ çã•ÁŒ | ŒŒŒ |^Á
æ ħ ÁŒ@Á } áŒ Á@ÁŒ |æ^Áĉ á^ ÁŒ^ÁŒ } ÁŒ Áã~!^ÁĜ Áæ ÁŒ || | , •ÉÁ

Á



Á

Figure 28: HPSEC Analysis of Diesel Fuel Dependent on the Storage Time at 25 °C.

Á

V@ÁŒ~!æ { •Á*ã^} Á@!^ÁŒ^æŒ | ÁŒ~•ĉæ Á@ŒÁ [ŒŒŒæ] |^•ÁŒ } |^•ÁŒ , ^áÁ@ÁŒĉ^&ĉáÁ
ãã•^!ÁŒ^!ÁŒ^æÁĉ^ĉ} ĉ} Áã~!^ÁŒ Á ħ DŒ æŒ!Á@ÁŒ^ } Œã } æÁĉĉæ@á [~!æ ÉÁ^ĉ} ĉ} Á
ĉ~!^ÁŒ ÁŒŒŒ @ÁŒ [ÁŒ æŒ!ÁŒĉ &ĉ!^•ÁŒ ^!^ÁŒ^ĉ&ĉáÁŒ | Á^ĉ} ĉ} Áã~!^ÁŒ ÁŒŒŒ Á
{ ^æ•Á@ŒÁŒ |ã * Á@ÁŒ•ŒŒ |ã áÁ [Á |ã [{ ^!Áæ æŒ!Á [] { ^!ÁŒ {] [] ^ } • ÁŒ^!ÁŒ | { ^áÁŒ Á
Œ@Áã•^!ÁŒ^!ÁŒæ] |^ÉÁ

V@Á^•~ |• ÁŒ | Á@ÁPÚÚÓÓÁæ æ•ã ÁŒ | ÁP XUÉŒ [] çãã ħ * ÁŒ^!ÁŒŒÁÉÁĉÁŒ ÁP XUŒŒŒ^ÁŒ *ã^} ÁŒ Á
-ã~!^ÁĜ Áæ ÁŒ || | , •ÉÁ

Á

7 Results of the Short-term Test Runs

Vergleich der EGR-Ratio bei verschiedenen Lasten und Drehmomenten für die verschiedenen Kraftstoffmischungen. Die EGR-Ratio sinkt mit zunehmender Last und Drehmoment ab.

7.1 Influence of the Fuel Blends on the Engine Control Unit

Die EGR-Ratio wird durch die Drehmomentenlast und das Drehmoment beeinflusst. Die EGR-Ratio sinkt mit zunehmender Last ab. Die EGR-Ratio ist für die verschiedenen Kraftstoffmischungen (ÖÖ, ÖÖ/ÄH, ÖÖ/ÄH/ÄP, ÖÖ/ÄH/ÄP/XU, ÖÖ/ÄH/ÄP/XU/ÄF, ÖÖ/ÄH/ÄP/XU/ÄFH) unterschiedlich.

Die EGR-Ratio wird durch die Drehmomentenlast und das Drehmoment beeinflusst. Die EGR-Ratio sinkt mit zunehmender Last ab.

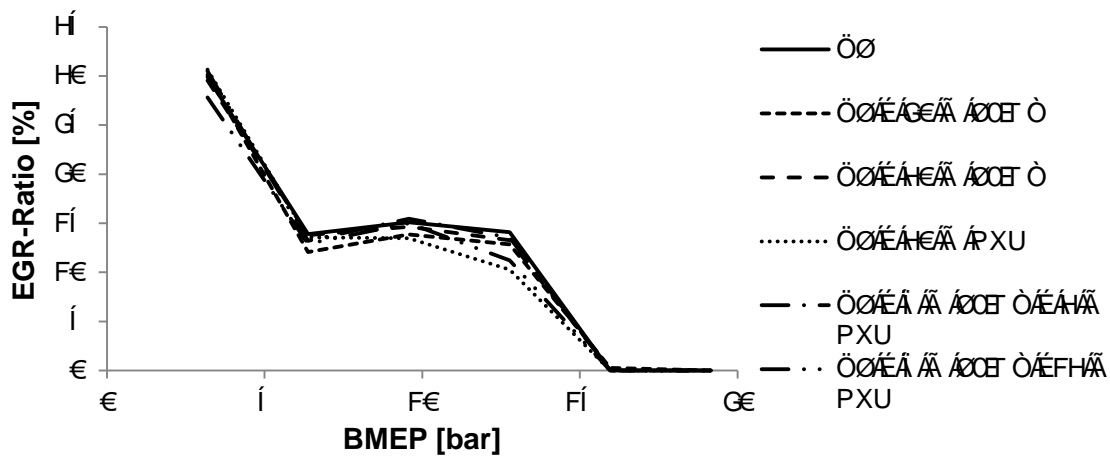


Figure 30: EGR at Increasing Load and Constant Speed of $n = 2000 \text{ min}^{-1}$.

Die EGR-Ratio wird durch die Drehmomentenlast und das Drehmoment beeinflusst. Die EGR-Ratio sinkt mit zunehmender Last ab. Die EGR-Ratio ist für die verschiedenen Kraftstoffmischungen (ÖÖ, ÖÖ/ÄH, ÖÖ/ÄH/ÄP, ÖÖ/ÄH/ÄP/XU, ÖÖ/ÄH/ÄP/XU/ÄF, ÖÖ/ÄH/ÄP/XU/ÄFH) unterschiedlich.

Die EGR-Ratio wird durch die Drehmomentenlast und das Drehmoment beeinflusst. Die EGR-Ratio sinkt mit zunehmender Last ab. Die EGR-Ratio ist für die verschiedenen Kraftstoffmischungen (ÖÖ, ÖÖ/ÄH, ÖÖ/ÄH/ÄP, ÖÖ/ÄH/ÄP/XU, ÖÖ/ÄH/ÄP/XU/ÄF, ÖÖ/ÄH/ÄP/XU/ÄFH) unterschiedlich.

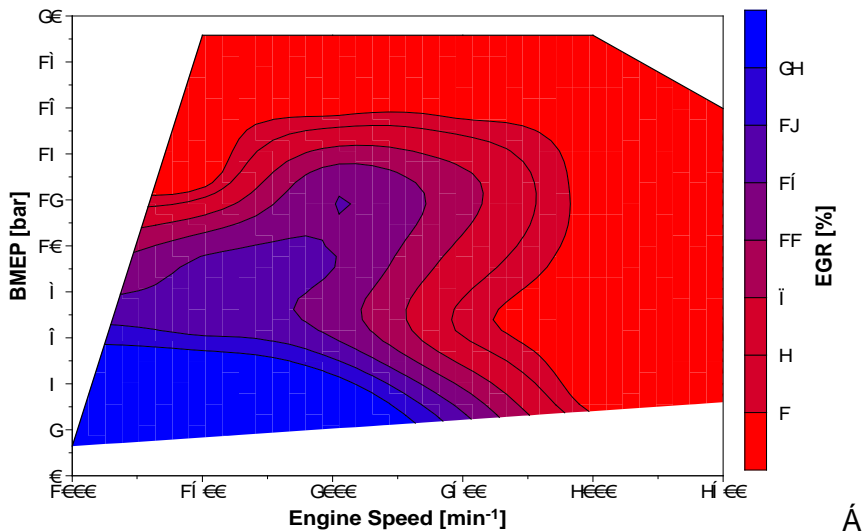


Figure 31: EGR in the Engine Map when Operated with DF.

Á

Ü~ æ^Á^æ| Á@ ÖÜÁæ * ^• Á Á^çÁæ} áÁ| { Á^Á [ä Ö ÁG €Á ä Æ Áæ} áÁ Áæ| æÁæ} * ^Á

Q+ ^} & áÁ^ Á@ Á | ä @ Áã^! ^} ÖÜÁæ} • Á@ Áæ} áááçæ} ^• Á [ç^Á] Á^ Áæ| ~ ÖÁ ÈÁ

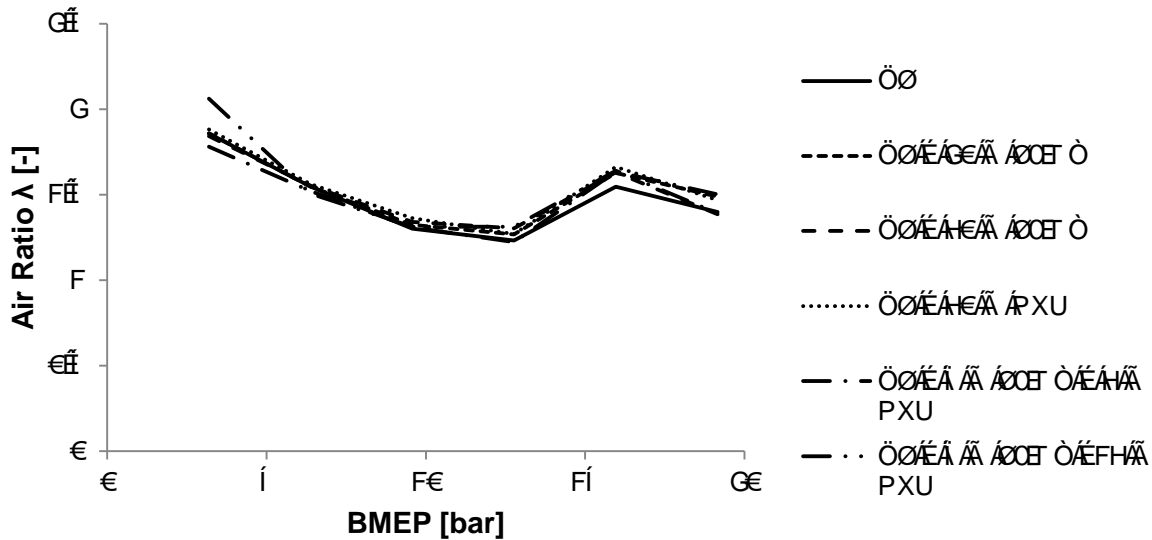


Figure 32: Air Ratio λ at Increasing Load and Constant Speed of $n = 2000 \text{ min}^{-1}$.

Á

Á

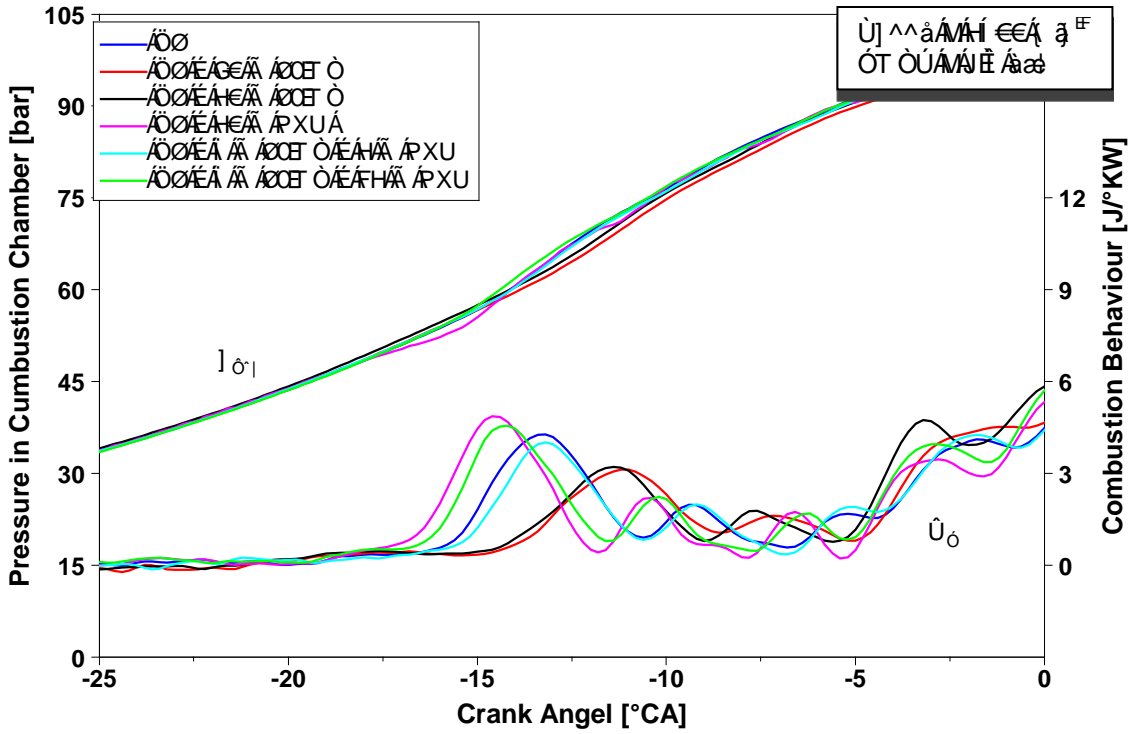


Figure 34: Combustion Behaviour of the Precombustion at $n = 3500 \text{ min}^{-1}$ and $\text{BMEP} = 9.6 \text{ bar}$.

Ü] ^^áÁÁÍ €Á ¢^{EF}
 ÓT ÒÚÁÁÛË Áæ

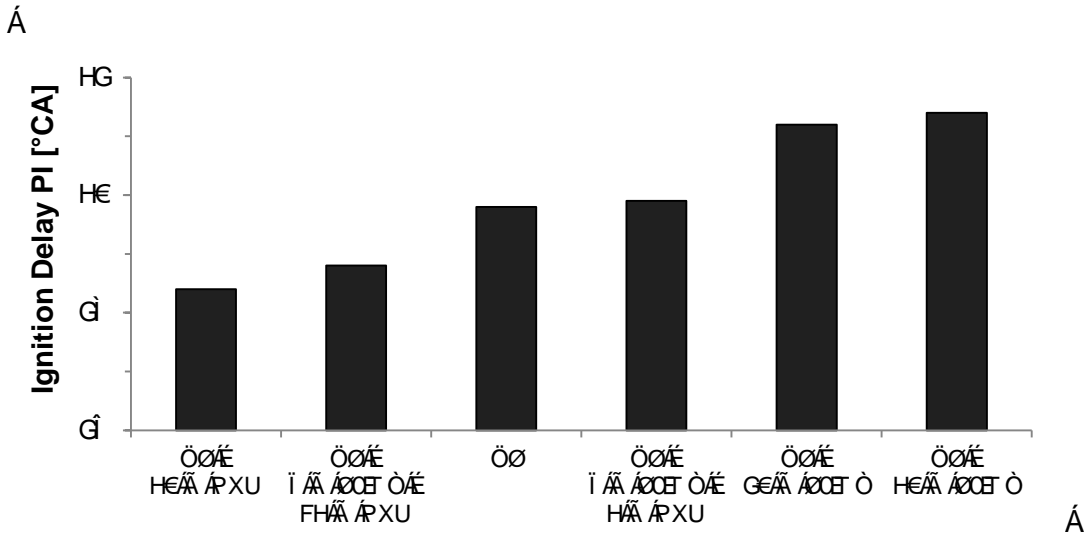


Figure 35: Ignition Delay dependent on the Fuel at $n = 3500 \text{ min}^{-1}$ and $\text{BMEP} = 9.6 \text{ bar}$.

Ü] ^^áÁÁÍ €Á ¢^{EF}
 ÓT ÒÚÁÁÛË Áæ

Το γράφημα δείχνει την πίεση στην κλιμακωτή κοιλότητα και τη συμπεριφορά της καύσης ως συνάρτηση της γωνίας της μανιβέλας (CA) για διάφορα μίγματα καυσίμων. Η πίεση μέγιστη και η συμπεριφορά της καύσης επηρεάζονται από τη σύσταση του μίγματος και το σημείο της μανιβέλας που λαμβάνεται ως σημείο αναφοράς (TDC).

Α

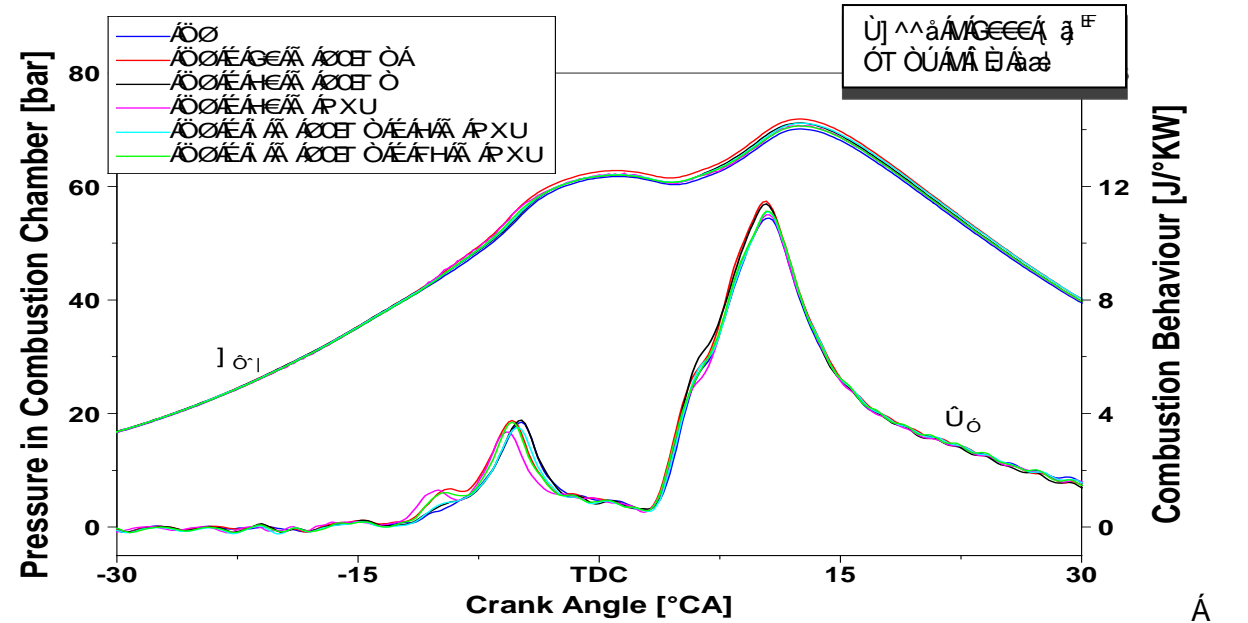


Figure 38: Pressure in Combustion Chamber and Combustion Process at $n = 2000 \text{ min}^{-1}$ and $\text{BMEP} = 6.9 \text{ bar}$.

Α

Η επόμενη εικόνα είναι ο τίτλος της ενότητας 7.3, που αναφέρεται στην επίδραση των μίξεων καυσίμων στην συμπεριφορά των εκπομπών. Ο τίτλος είναι: 7.3 Influence of the Fuel Blends on the Emission Behaviour.

7.3 Influence of the Fuel Blends on the Emission Behaviour

Η επίδραση των μίξεων καυσίμων στην συμπεριφορά των εκπομπών εξαρτάται από τη σύσταση του μίγματος και τις συνθήκες λειτουργίας. Η επίδραση των μίξεων καυσίμων στην συμπεριφορά των εκπομπών μπορεί να μετρηθεί με διάφορους τρόπους. Η επίδραση των μίξεων καυσίμων στην συμπεριφορά των εκπομπών μπορεί να μετρηθεί με διάφορους τρόπους.

Α

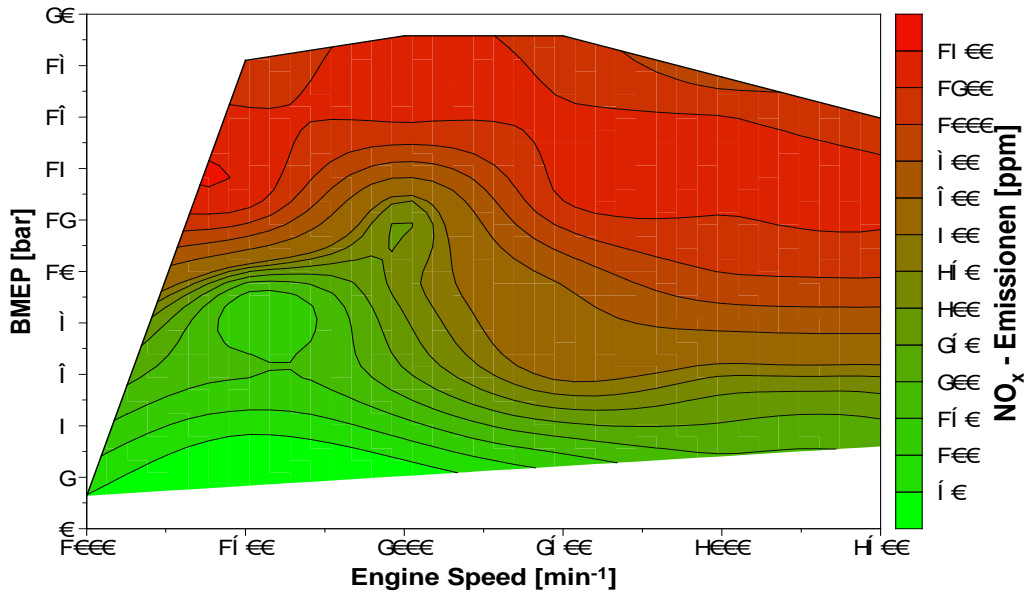


Figure 39: NO_x Emissions in the Map for Diesel Fuel.

Á

Übersicht über die NO_x-Emissionen in der Karte für Dieselkraftstoff. Die Karte zeigt die NO_x-Emissionen in ppm in Abhängigkeit von der Drehzahl (min⁻¹) und dem Mitteldruck (BMEP [bar]). Die Emissionen sind durch die Farbcodierung und die Konturen dargestellt. Die Drehzahl reicht von 0 bis 2000 min⁻¹, und der BMEP reicht von 0 bis 18 bar. Die Emissionen sind in ppm angegeben, wobei die Skala von 1 bis 17 ppm reicht.

Á

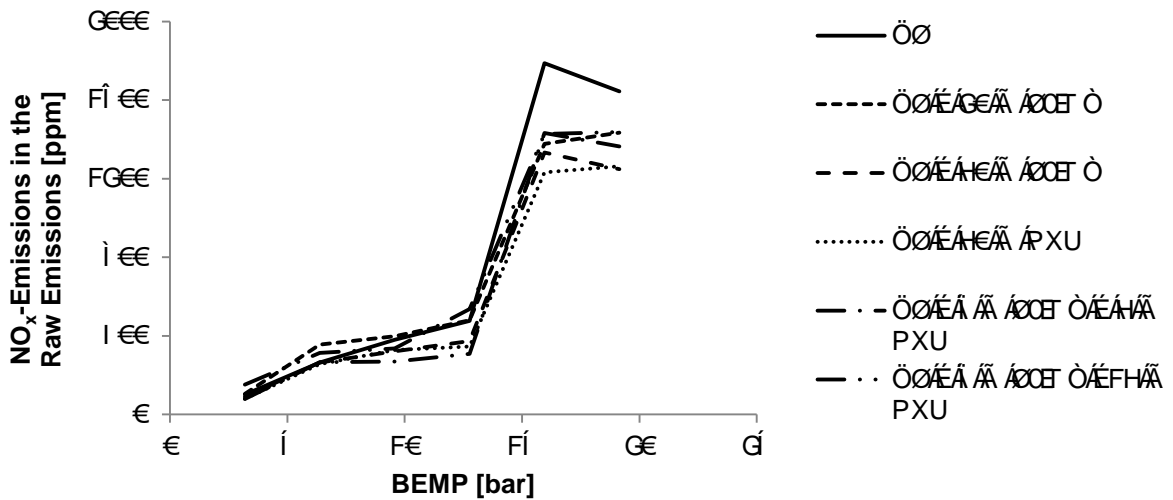


Figure 40: NO_x Emissions at Increasing Load and Constant Speed of n = 2000 min⁻¹.

Á

Übersicht über die NO_x-Emissionen bei zunehmender Last und konstanter Drehzahl von n = 2000 min⁻¹. Die Grafik zeigt die NO_x-Emissionen in ppm in Abhängigkeit vom Mitteldruck (BEMP [bar]) bei konstanter Drehzahl. Die Emissionen sind für sechs verschiedene Konfigurationen oder Betriebsbedingungen dargestellt. Die Drehzahl ist konstant bei 2000 min⁻¹. Die Emissionen sind in ppm angegeben, wobei die Skala von 0 bis 17 ppm reicht.

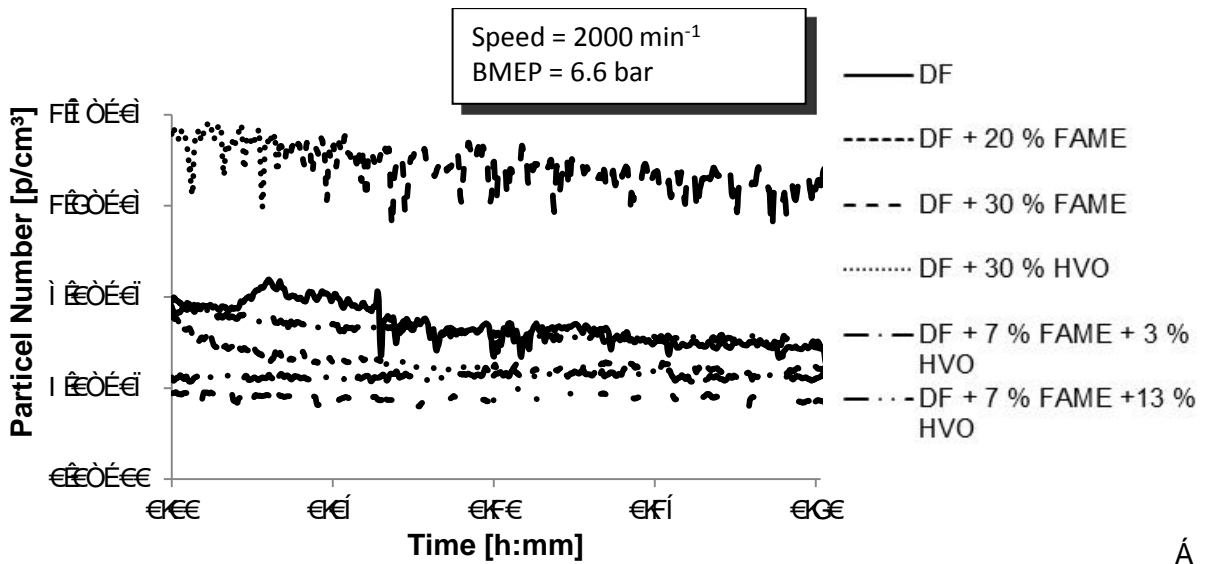


Figure 43: Time Curve of the Particle Number [p/cm³] Dependent on the Fuel.

DF + 20% FAME
 DF + 30% FAME
 DF + 30% HVO
 DF + 7% FAME + 3% HVO
 DF + 7% FAME + 13% HVO

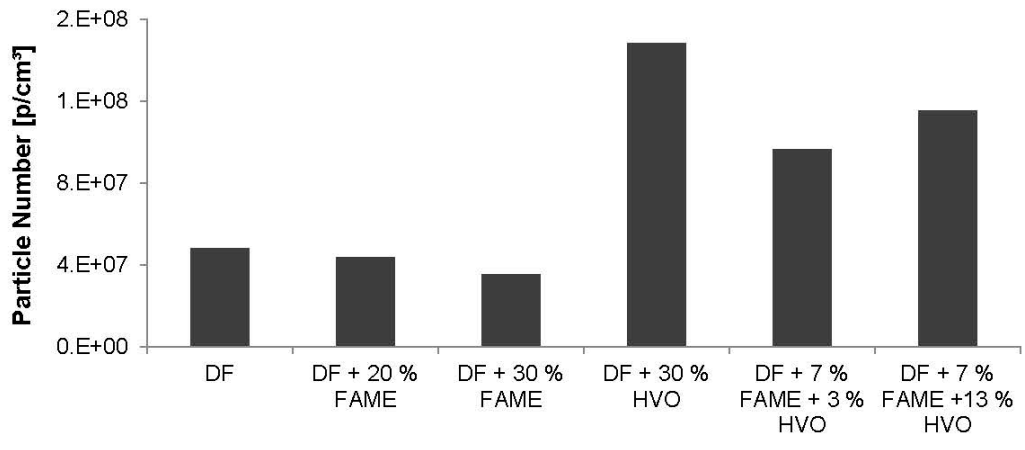


Figure 44: Particle Number [p/cm³] at $n = 2000 \text{ min}^{-1}$ and BMEP = 6.6 bar.

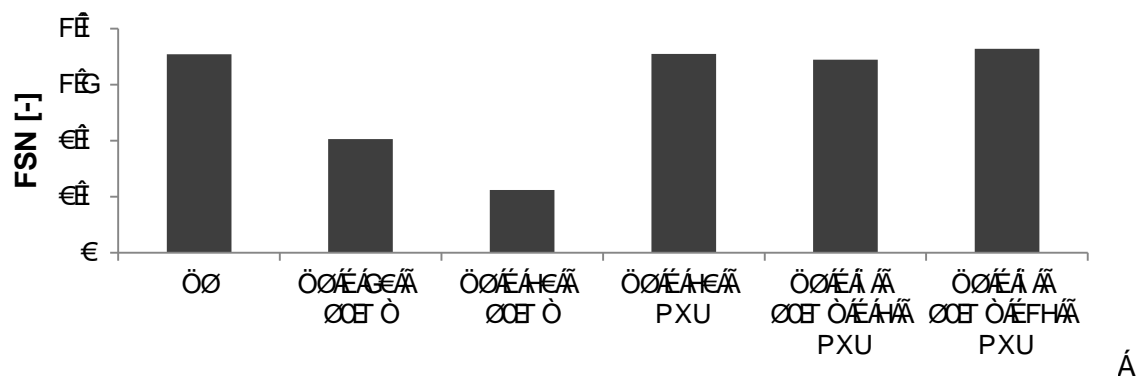


Figure 45: FSN at n = 2000 min⁻¹ and BMEP = 6.6 bar.

Ö ^ Á Á @ Á [~ } ã Á c ^ ^ } È @ Á Ø F Ò Á { c } ó Á Á @ Á ^ | Á s e • ^ • Á @ Á Ú P Á Á Á Á c e ç ^ a Á Á @ Á Á
 [] ^ Á s e ç * Á [ä ó Á Á G E E E Á ä È Ö T Ò Ú A Á È Á s e D V @ Á ^ | Á { s e ç ä * Á P X U Á @ , ^ a Á s e ç [• ó
 ä ^ } s e ç Á C O U P Á c e ç ^ • Á & {] s e ç á Á c Á a a • ^ | Á ^ | Á @ , ^ ç ^ | È ä Á & { d s e ç á ä @ C e ç Á ä } ä s e ç ó Á
 @ @ | Á s e ç Á ^ { ã ^ | Á ^ | Á ^ a e ~ | ^ a Á | Á P X U È { s e ç ä * Á ^ | • È V @ | ^ | | ^ È @ Á & { & ^ • ä } Á
 s e ç Á ^ Á | s e ç } Á @ s e ç Á @ Á s e ç ^ Á @ Á s e ç ^ Á s e ç Á a Á ^ ~ • ó ^ Á { s e ç Á È

Q Á s e ç ä ä } È @ Á & c e ç * ^ Á Á @ Á s e ç Á ^ { ã ^ | Á s e ç Á c | { ä ^ a Á Á @ Á Ö Ú Ó Á ^ a Á s e ç | ^ Á | D Ä Ó
 s e ç Á ^ Á s e ç á Á @ s e ç Á @ Á • ó ä ç * ^ Á @ Á & { • a Á s e ç Á Á c | Á s e ç ç a Á s e ç a ~ & ç } Á Á @ Á s e ç È
 & Á ^ { ã ^ | Á Á | ^ Á @ ç Á J J Ä È

Table 14: Changes [%] of the Particle Number Due to DPF.

	DF	DF + 20 % FAME	DF + 30 % FAME	DF + 30 % HVO	DF + 7 % FAME + 3 % HVO	DF + 7 % FAME + 13 % HVO
1500 min⁻¹ 3.3 bar	F E E E Á	F E E E Á	J J È J Á	J J È F Á	J J È J Á	J J È I Á
2000 min⁻¹ 3.3 bar	J J È I Á	J J È I Á	J J È H Á	J J È I Á	J Ì È € Á	F E E E Á
2000 min⁻¹ 6.6 bar	J J È J Á	J J È J Á	J J È H Á	J J È F Á	F E E E Á	J J È J Á
1875 min⁻¹ 1.3 bar	J J È J Á	J J È I Á	J J È J Á	J J È I Á	F E E E Á	F E E E Á
Average	J J È I Á	J J È H Á	J J È I Á	J J È I Á	J J È G Á	J J È I Á

Á Á

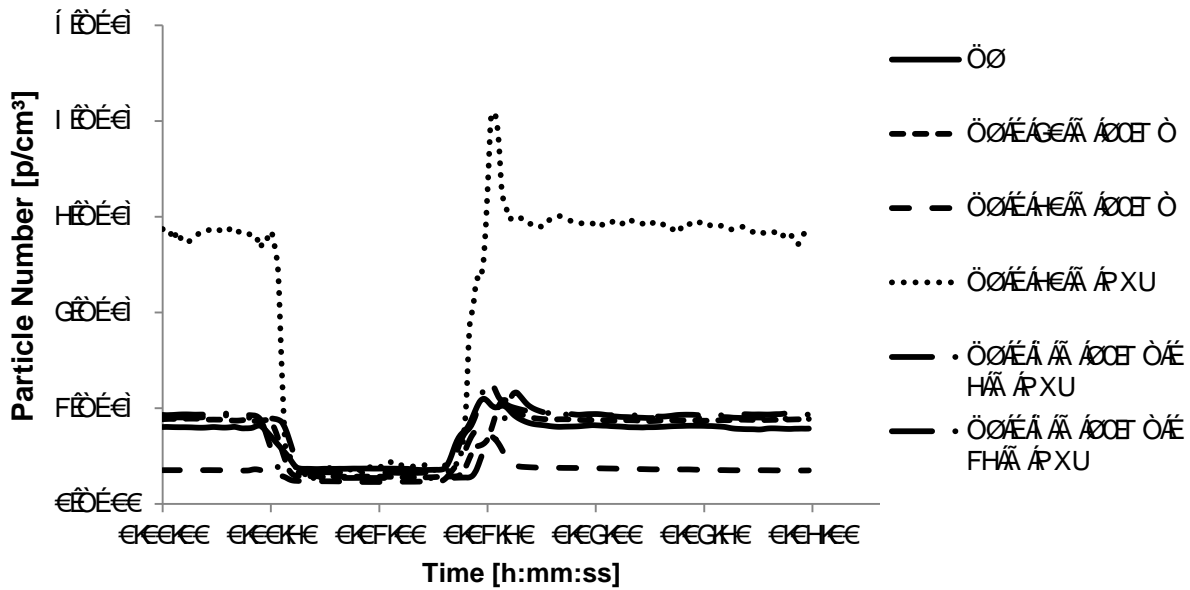


Figure 48: Comparison of the Particle Number at Load Step with Varying Fuels.

Ä
 ÜÄ ~ |^Ä | Ä | • dÄÄ • Ä@Ä ÄÜ@Ä { à^ | • Ä Ä@Ä ÄÄ~ |^ } oÄ |^ } äÄ^ | • Ä ÄÜ@Ä | äÄ | äÄ ÄÜ@Ä | • Ä
 ÜÄ |^ } äÄ |^ ÄÄ | { | äÄ äÄ } ÄÜ@Ä Ä | cÄ | äÄ | ÄÜ@Ä ÄÜ@Ä ÄÜ@Ä |, Ä | äÄ ÄÄ } ^ ÄÜ@Ä ÄÄÄÄÄÄ äÄ |^ ÄÜ@Ä ÄÜ@Ä
 GÄ äÄ ÄÄ | ÄÜ@Ä ÄÄÄÄ ÄÜÜÜ ÜÄÄÄ • • • Ä |^ | Ä^ | Ä |, Ä äÄÄ |^ { ä • ä } • LÄ @ |^ äÄ ÄÜ@Ä |^ | Ä
 äÄ * Ä | ä ÄÜ@Ä @ • Ä äÄÄ |^ { à^ | Ä äÄ |^ } äÄ | ÄÜ@Ä ÄÄÄÄ ÄPXU ÜÄ | ÄÜ@Ä ^ äÄ | äÄ * Ä
 |^ • |ø Ä Ä@Ä äÄÄ |^ { à^ | • ÄÄÄ@Ä äÄÄ } äÄ |^ | äÄ * Ä | äÄ |^ |^ } äÄ |^ |^
 ÜÄ äÄ äÄ } äÄ |^ ÄÄ ÄÄ ÄÄ äÄ |^ • ÄÜ@Ä ÄÜ@Ä |^ { à^ | ÄÄ ÄÜ@Ä @Ä | äÄ ÄÄ } ^ ÄÜ@Ä ÄÄÄÄÄÄ äÄ |^ LÄ
 ÜÜ ÄÜ@Ä ÄÄ äÄÄ |^ | • ÄÄ |^ | äÄ * ÄÄÄ@Ä äÄÄ |^ { à^ | ÄÜ@Ä ÄÄÄ |^ ÄÄ |^ | ÄÄ ÄÄÄÄ | ÄÄ ÄÄ | Ä
 ÜÜ ÄÄÄÄ |, Ä | äÄ ÄÄ } ^ ÄÄÄ ÄÄÄÄ } äÄ äÄÄÄÄÄ |^ ÄÄÄÄÄÄ |^ | ÄÄÄÄÄÄ |^ |^ | ÄÄÄÄÄÄ |^ | ÄÄÄÄÄÄ
 ÜÜ ÄÄÄÄ |, ^ • ÄÄÄÄ |^ { à^ | ÄÄ äÄÄÄ |^ |^ } äÄ äÄ * ÄÄÄÄ ÄÄ ÄPXU ÄÜ@Ä ÄÜ@Ä @ • Ä } ^ ÄÄÄ

Ä

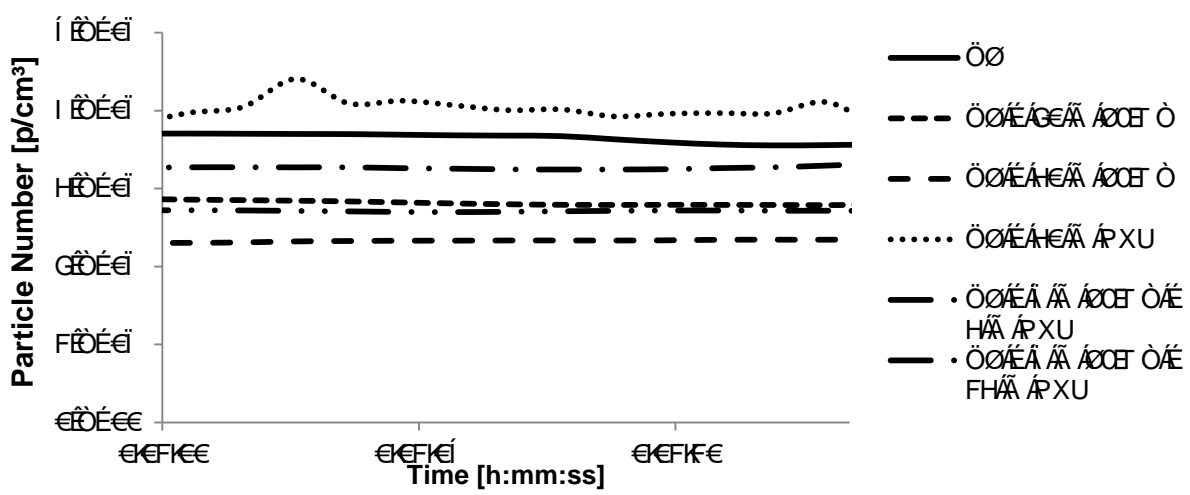


Figure 49: Section of Figure 48 - Comparison of the Particle Number at Load Steps with Varying Fuels.

Ä

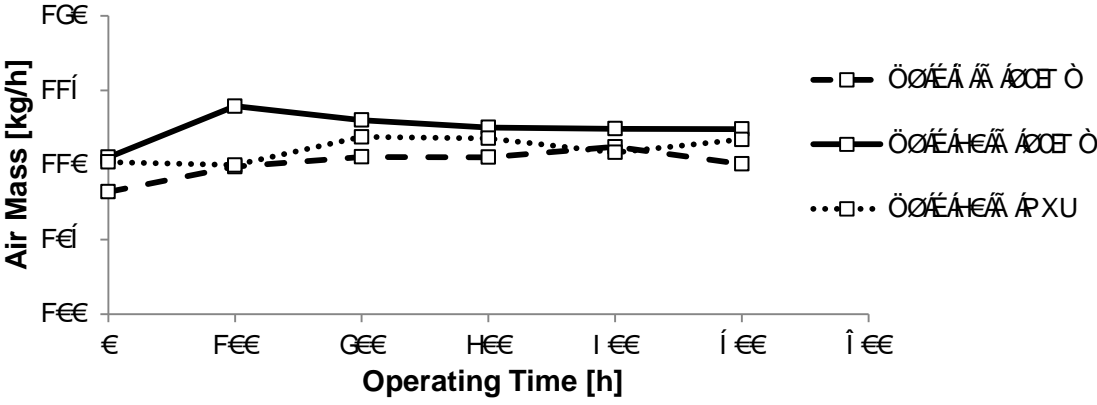


Figure 51: Air Mass at BMEP = 6.9 bar and n = 2000 min⁻¹ Dependent on the Fuel Implemented and the Operating Time.

Ä
 ÖÄ Ä' } ç' } ^äÄ^ç' | ^É@ÄÖÜÄ Ä' } [] • ä | Ä' | Ä@Ä' } ^ | É' } * ä ^ Ä' ä' & ç' } Ä' Ä' UÄ' } ä É
 • ç' } • ÄÖÄ' | ^ Ä' Ä' @, • Ä@ÄÖÜÄ' | ç' | { ç' & Ä' Ä@Ä' ^ Ä' } ä' | ä' & Ä' } • Ä@ [^ * ç' } Ä@Ä' }
 [] ^ | ç' } * Ä' | • Ä'

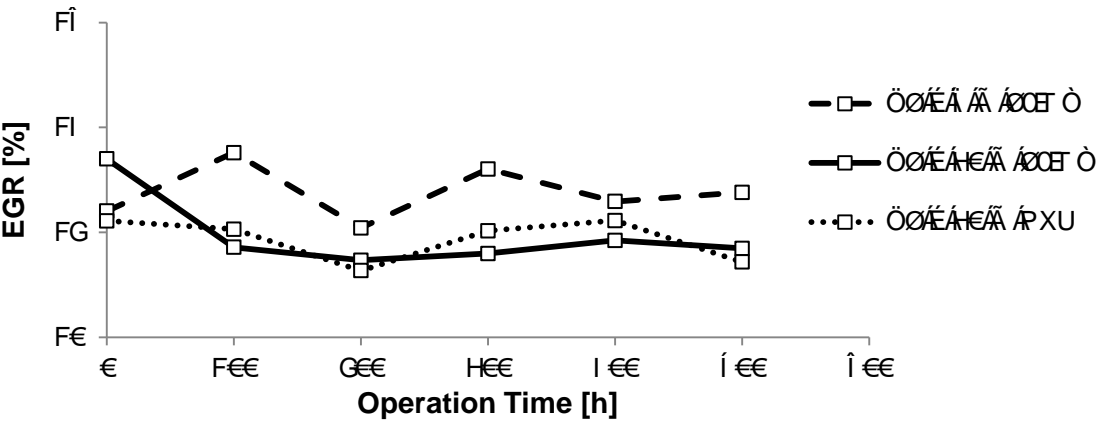


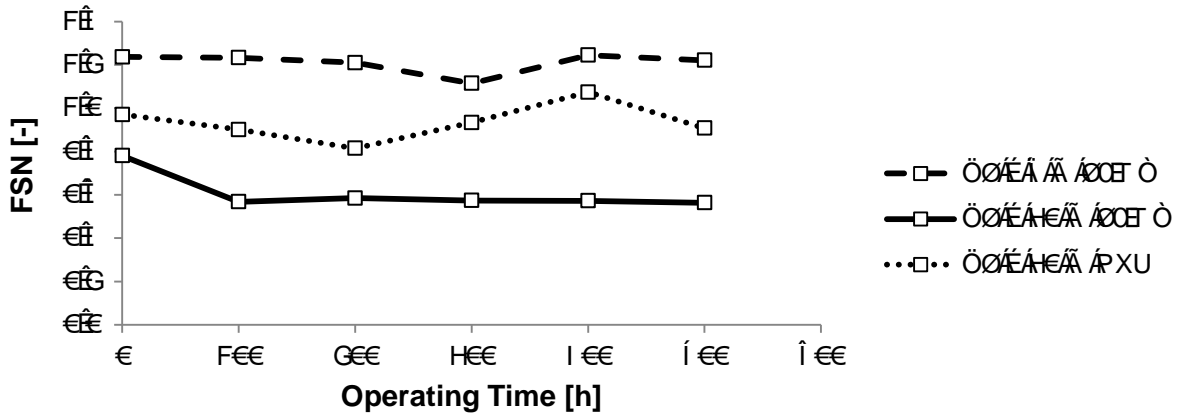
Figure 52: EGR at BMEP = 6.9 bar and n = 2000 min⁻¹ Dependent on the Fuel Implemented and the Operating Time.

Ä
 ÖÄ Ä' } ç' } ^äÄ^ç' | ^É@ÄÖÜÄ Ä' } [] • ä | Ä' | Ä@Ä' } ^ | É' } * ä ^ Ä' ä' & ç' } Ä' Ä' UÄ' } ä É
 • ç' } • ÄÖÄ' | ^ Ä' Ä' @, • Ä@ÄÖÜÄ' | ç' | { ç' & Ä' Ä@Ä' ^ Ä' } ä' | ä' & Ä' } • Ä@ [^ * ç' } Ä@Ä' }
 [] ^ | ç' } * Ä' | • Ä'

8.2 Emission Behaviour during the Test Period

ÖÄ' | Ä' Ä' @, • Ä@Ä' ^ ç' [] { ^ } ç' Ä@ÄÖÜÄ' Ä' } ä' | ä' & Ä' } • Ä' Ä' Ä' Ä' @Ä' ^ ~ |ø Ä' Ä@Ä'
 • @ | ç' | { Ä' • Ä' } • Ä' | | äÄ' Ä' } - ä' | ^ ä' | Ä@Ä' ^ ç' } ^ | Ä' } [] ^ | ç' } Ä' [ä' Ä' Ä' } ^ ä' | ^ Ä@Ä' Ä'
 & [] } ä' | ä' Ä' Ä' @Ä' | Ä' } • Ä' Ä' | ä' * Ä' } ä' | ä' & Ä' } Ä@Ä' |, ^ • Ä' Ä' Ä' | | äÄ' Ä' ^ ä' É
 ~ | ^ ä' Ä' Ä' Ä' ä' • ^ | Ä'] ç' } ç' Ä' Ä' Ä' Ä' Ä' } ^ ä' | ^ Ä' Ä' Ä' Ä' • ^ ä' Ä' Ä' Ä' Ä' } ^ ç' * ^ } Ä'
 ä' | ^ } ä' Ä' Ä' Ä' Ä' Ä' [| ^ & | Ä' @Ä' ^ ç' • Ä' Ä'] | | ç' ä' Ä' ^ | Ä' Ä' Ä' } Ä' ä' Ä' • Ä' | ^ } ç' | ä' Ä'
 • [| ç' | { ç' } Ä' [• ä' | É'

ÖÄ' Ä' | | Ä' Ä' ^ { [] • ç' äÄ' Ä' @Ä' ^ | Ä' Ä' } ä' | ä' & Ä' } Ä' | Ä' } ç' ä' * Ä' Ä' Ä' | Ä' @, ^ äÄ' Ä'
 [, ^ | Ä' Ä' Ä' Ä' Ä' Ä' Ä' Ä' Ä' Ä' ^ } & Ä' Ä' • ^ | Ä' ^ | Ä'

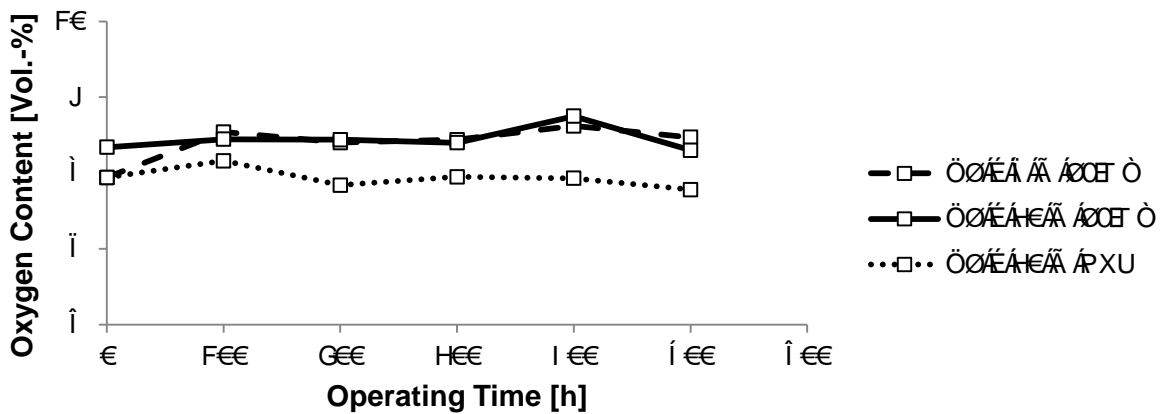


Ä

Figure 53: FSN at BMEP = 6.9 bar and $n = 2000 \text{ min}^{-1}$ Dependent on the Fuel Implemented and the Operating Time.

ÖÖÉÄÄ ÅÄ ÅÖË Ò Æ ÅÜ } • Ä
 ÖÖÉÄÄ ÅÄ ÅÖË Ò Æ ÅÜ } • Ä
 ÖÖÉÄÄ ÅÄ ÅÖË Ò Æ ÅÜ } • Ä

Ä



Ä

Figure 54: Oxygen Content at BMEP = 6.9 bar and $n = 2000 \text{ min}^{-1}$ Dependent on the Fuel Implemented and the Operating Time.

ÖÖÉÄÄ ÅÄ ÅÖË Ò Æ ÅÜ } • Ä
 ÖÖÉÄÄ ÅÄ ÅÖË Ò Æ ÅÜ } • Ä
 ÖÖÉÄÄ ÅÄ ÅÖË Ò Æ ÅÜ } • Ä







ÖÖÉÄÄ ÅÄ ÅÖË Ò Æ ÅÜ } • Ä
 ÖÖÉÄÄ ÅÄ ÅÖË Ò Æ ÅÜ } • Ä
 ÖÖÉÄÄ ÅÄ ÅÖË Ò Æ ÅÜ } • Ä

Ä

8.3.1 Combustion Chamber

V@ÁÏ ||| , ä * Áæá^ÁÏ {] æ^• Á@Áä ^!Áæ ä Á@Á ä d } ÁÏ] • Áæc^!Á} à' !æ & Á~ } • ÁËÖÁæ ä ÁËÄ

Table 17: Documentation of the Liner and the Piston Top.

Á	Endurance Run 1	Endurance Run 2	Endurance Run 3
Ø ^ Á	ÖÖÁÉÁ ÄÄ ÁÖCEÏ ÒÁ	ÖÖÁÉÁÉÄÄ ÁÖCEÏ ÒÁ	ÖÖÁÉÁÉÄÄ ÁPXUÁ
Šä ^!Á			
Úä d } Á			

Öce^!Áæá^!Á} à' !æ & Á~ } • Á@Á@ } ^Á æ\• Á } Á@Áä ^!Áæ ä Á@Á ä d } ÁÏ] • Áæc^!Á} à' !æ & Á~ } • ÁËÖÁæ ä ÁËÄ
 ^) & Á Á@ÁÏ] | ^ { ^ } c^áÁ^!Á } Á@Á^ à' äææä } Á] | | ^!c^ ÁÏ ~ |äÁ^Á^c^ & c^áÉV@Á] æ Á æÉ
 c^! } Á æ Á ^||áä ä^!Á } Á@Á ä d } Áæc^!Áæá^!Á~ } • ÉV@Á Áææ Á^Áæ • { ^áÁ@Á [Á^] [• É
 ä ÉÄ ÉÄ ÁÏ æ ä * Á } Á@Á ä d } • ÉÄ ^!ÁÏ | { ^áÉV@Áæ • {] d } Á æ Á^!áááÁ^ Á@Áä^ æä
 ä •] ^&ä } Á Á@Á ä d } • ÉÄ

ÖÁ ~ • Á^Á [c^áÁ@Áæc^!Á@Á^&] áÁ } à' !æ & Á~ } Á @Á^ [• ä Á ^!ÁÏ } áÁ } Á@Áä ^!Á
 æá [c^Á@Áá • Ö ä d } Áä * Áæ ä Á@ÁÏ | ä á^!Á@æÉÖ^ ÁÏ Á@Á { æÁæ [~ } c^á Áæááä } æÁ É
 •] ^&ä } Á Á@Á^Á^ [• ä ÁÏ ~ |äÁ [c^Á^æááá^ äÄ

Á




8.3.2 EGR Cooler

ÖÁ Á@Á } &ä } Á Á@ÁÖÖÜÁÏ [|!ÁÏ Á^á^ & Á@Á^ {] ^!æ^!Á Á@Ác^æ • c^ æ Á @ÁÁ Á
 !^&ä & |æ^áá d Á@ÁÏ { à • ä } Áææ à^!ÉÜä & Á@Á } d^æ^áÁæ Á { ä • ä } • Á æ • Á@ÁÏ { É
] [] ^ } ÉÄá^&á^ ^) & Á Á@Á^!Á] | | ^!c^ Áææ Áæ [Á^Á [c^áá@^!ÉÖCEÏ ÒÁ Á] [, } ÁÏ Á
 † | { Áä^!Á [[Ö @Á æ ÁÏ] -ä { ^áÁ^ Á@Á •] ^&ä } Á Á@ÁÖÖÜÁÏ [|!ÁÏ | ^Á^Áæá^!ÁÏ
 Öce^!Á@Á^&] áÁ } à' !æ & Á~ } ÁÏ^æ| Á { æ^!Á [[c^Á^] [• ä Á ^!ÁÏ } áÉá [Áá^!^) & Á
 & ~ |äÁ^Á^c^! { ä^áÁ^c^ ^) Á^] [• ä Á^ ÁÁÖÁÉÁ ÄÄ ÁÖCEÏ Òá ä ÁÖÖÁÉÁÉÄÄ ÁPXUä

Á

Á

Table 18: Documentation of the EGR Cooler

	Endurance Run I	Endurance Run II	Endurance Run III
Ø ^ Á	ÖÖÉÁ Á ÁÖÖÉ ÖÁ	ÖÖÉÁÉÁ Á ÁÖÖÉ ÖÁ	ÖÖÉÁÉÁ Á XUÁ
ÖÖÜÁ Ö[[^ Á Q ^Á			



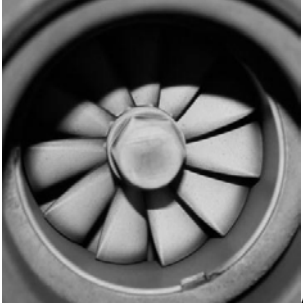


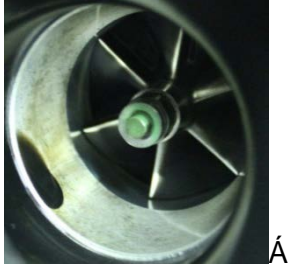
Á

8.3.3 Exhaust Gas Turbocharger

V@Á^••Á æ Ác |à[&@*^|Á æ Áæ[Á] ^&c áÖÖ@*^•Á^| ^} á^} Á} Á@Á~^|Á] |^É
{ ^} ÁáÁ~ |áÁ[Á^Á^c|{ á^áÁ |Á@Á{]|^••[|Á |Á@Á~ |áá^É

Á

Table 19: Documentation of the Exhaust Gas

Á	Endurance Run 1	Endurance Run 2	Endurance Run 3
Ø ^ Á	ÖÖÉÁ Á ÁÖÖÉ ÖÁ	ÖÖÉÁÉÁ Á ÁÖÖÉ ÖÁ	ÖÖÉÁÉÁ Á XUÁ
ÖÖVÁ V~ ää^Á			
ÖÖVÁ Ô[{] ^•É • Á			

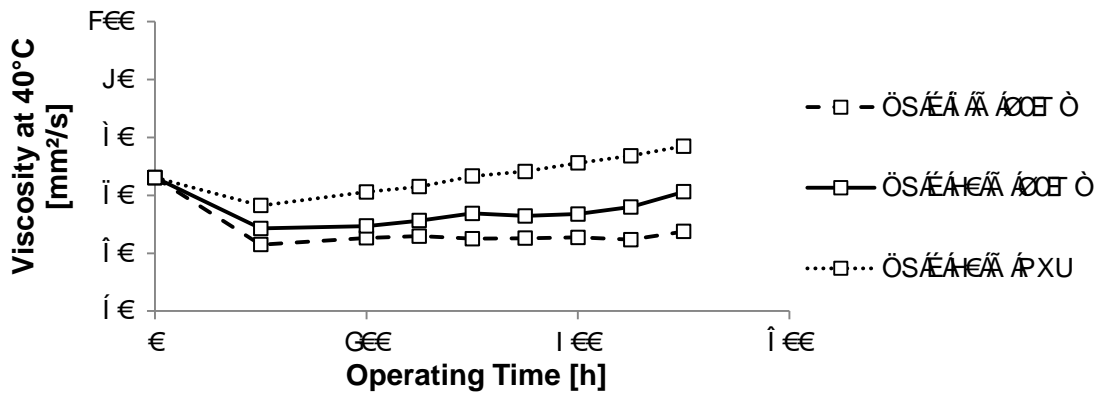
Á

8.4 Effect on the Engine Lubrication Oil

Ö~ |á * Á@Á} á~ |æ &Á~ }• Á@Á~ |ááá} Á áá æ Áæ æ :^ááá^ á^áá c|çá Á á@Á^ ááÁ Á
•^|^&c áÁ ææ ^c|^ÉÜ} Á{]|^á} Á Áæ@Á} á~ |æ &Á~ } Á@Á~ |ááá} Á áá æ Á{]|^cÉ
|^áá &@*^áááá Á Á{]|^æ |^Á Á ÉÁÖÉV@Á áá æ Á æ Á [Á~ |*^áá á@Á^ •Á áá|^|^Á
@Á^cÁ} á~ |æ &Á~ } ÉÁ

ÖÉÁ|| |, •Éá~ |^Á |Á] •dæ• Á@Á^| ^} á^} &Á Á@Á á^ { æáÁá & •á ÁæÁ ÉÁÖÉ } Á@Á
[]|^áá * Áá ^Á Á@Á^Á} á~ |æ &Á~ } •ÉÁ

Á



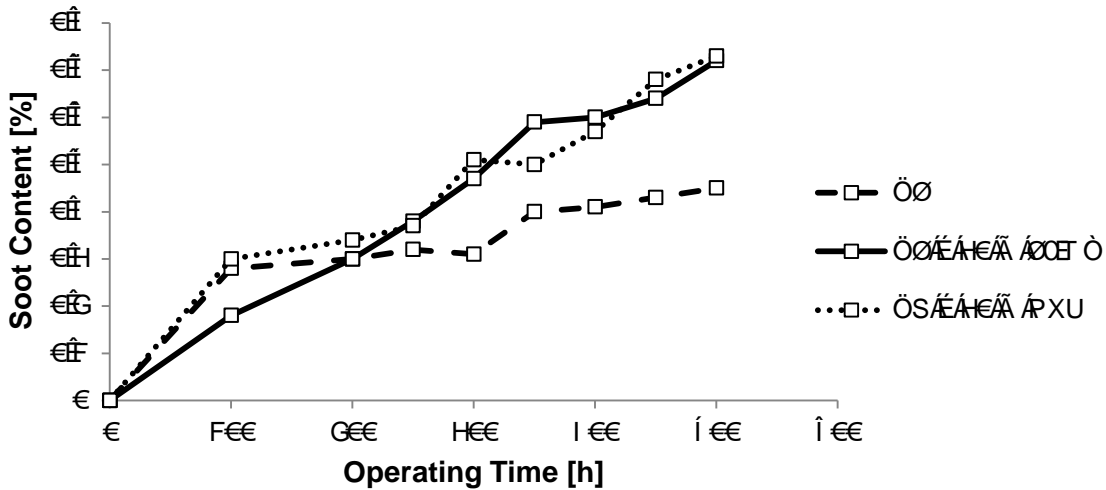
Á

Figure 56: Kinematic Viscosity at 40 °C Dependent on the Implemented Fuel and the Operating Time.

ÖS/EA/EA Ö, ÖS/EA/EA Ö, ÖS/EA/EA XU

ÖS/EA/EA Ö, ÖS/EA/EA Ö, ÖS/EA/EA XU

Á



Á

Figure 57: Soot Content of the Lubrication Oil Dependent on the Fuel Implemented and the Operating Time.

Á

ÖS/EA/EA Ö, ÖS/EA/EA Ö, ÖS/EA/EA XU

ÖS/EA/EA Ö, ÖS/EA/EA Ö, ÖS/EA/EA XU

Á

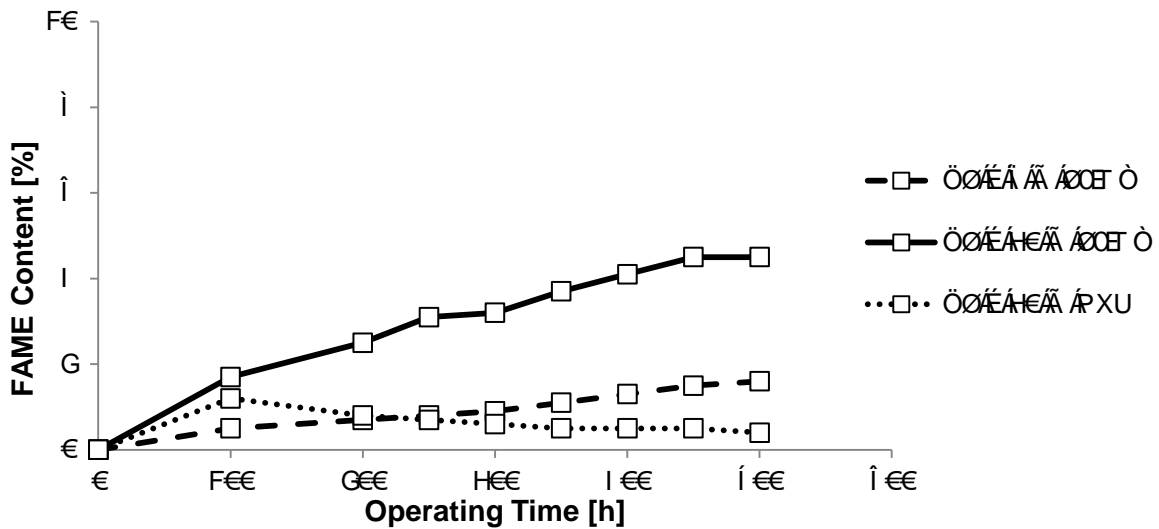
Í ÁÚ^~ | 0 Á Á@Á } á ! æ & ÁÚ^ } • Á

V@Á^~ d æ á æ á } Á { à ! Á & ^ æ à Á á } á æ á d Á æ @ Á @ Á á & @ ^ Á c ! ç æ Á æ } É P [, É
 ^ ç ! É Á ^ { • Á Á Á [! c Á ^ } ç } á * Á @ Á @ ! Á æ Á à ç á ~ | Á [Á á & Á ! ! | æ á } Á ^ ç ^ } Á
 @ Á Ó P Á ^ Á á ~ ! Á ! D æ á Á @ Á & ^ æ à Á Á @ Á ^ d æ á æ á } Á { à ! Á @ Á ^ á æ • Á @ Á [c á Á
 æ á • Á ! { ^ á Á æ Á Á ^ d æ á à Á Á @ Á á æ á Á Á ^ ! ç Á É Á

V@Á^~ | 0 Á á ^ } Á Á á ~ ! Á J Á ! | ç Á @ Á ~ ! á * Á @ Á } á ! æ & Á • Á } Á æ @ Á Ó É Á É Á Á P X U á
 @ ! Á æ Á d [] * Á & ^ æ à Á Á Á * Á S U P Á @ Á æ Á [c Á ^ c á à Á ^ ! Á ! Á @ Á] | ^ É
 { ^ } æ á } Á Á P X U É Á } á c } á á Á á } • Á Á Á @ Á É Á } æ á á * Á à ! æ á } Á á Á [{ Á @ Á • Á
 ç [Á } á ! æ & Á ~ } • Á æ Á Á Á [• • á | Á æ • Á É Á

Q ! Á á á á } á Á • d æ á } Á @ Á @ Á É Á } c } • Á Á ^ } á ^ } c } Á @ Á | ^ ! æ á * Á á ^ Á á á c á Á ! Á
 @ Á @ Á Á } á ! æ & Á ~ } • Á Á á ~ ! Á É Á Á Á | | , • Á

Á



Á

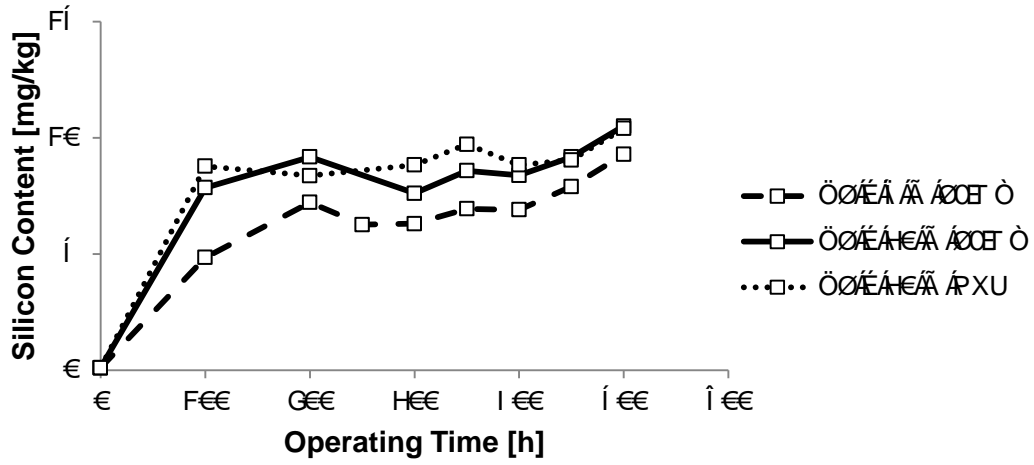
Figure 60: FAME Content of the Lubrication Oil Dependent on the Fuel Implemented and the Operating Time

V@Á^~ | ç Á Á ^ ~ | 0 Á ! | ç Á @ Á ~ Á } Á Á É Á Á @ Á à ! æ á } Á á Á Á @ Á ^ & } á } á ~ ! æ & Á ~ } Á
 Ö Ö É Á É Á Á Á @ Á É Á @ • Á @ Á É Á } c } É P [, ^ ç ! É Á @ Á ç ^ Á æ Á * æ á à Á } & á É
 æ á Á & æ • Á @ Á á á Á É Á Á @ Á [c Á ^ } Á á æ @ á É Á

Q Á Á ^ { æ | æ | Á @ Á Á @ Á É Á } c } c } Á F É Á Á Á æ Á ^ c ! { á à Á Á Á @ Á @ Á Á } á ! æ & Á ~ } Á
 Ö Ö É Á É Á Á Á P X U Á æ c ! Á F É Á [] ^ ! æ á * Á @ ~ | • É Á V @ Á & } c } Á á á æ • Á á Á } æ á æ á } Á á Á
 @ Á É Á } æ á á * Á à ! æ á } Á á Á [{ Á @ Á ^ & } á } á ~ ! æ & Á ~ } É Á Á @ Á } á ! æ & Á ~ } Á ! | É
 * ! • • ^ á Á Á & ^ æ à Á Á @ Á @ Á É Á } c } c } | á Á Á Á & ! á à Á É V @ Á @ Á • á ~ Á Á Á @ Á à ! É
 æ á } Á á Á Á ! | à æ | Á * ! æ à Á d Á æ á Á []] ^ } • É Á @ Á Á ^ ^ c á Á Á Á Á Á Á Á @ Á ^ É
 d æ á æ á } Á { à ! É V æ @ Á Á ~ æ á Á ^ c á Á } | Á @ • Á ^ | Á []] ^ } • Á Á Á & ! á à Á @ Á
] | | á ~ & Á Á á } æ Á Á @ Á Á ^ & c { Á Á Á Á Á Á • c ! Á | ~ | Á Á @ á Á [| & | • É Á Á Á Á Á [É
]] ^ } • Á ! | á * Á Á Á @ Á à ! æ á } Á á Á Á Á Á Á @ Á Á * Á Á @ Á Á Á Á @ Á [c Á & ! á à Á Á Á @ Á
 Á Á ^ c á É Á

V@Á^~ à ! æ á } Á á Á } | • Á ^ ! Á • c á Á ! Á á ~ Á [• • á | Á & } æ á á Á [] { ^ ! Á Á Á ^ á } • Á Á
 P Ú Ú Ó Ó Á æ á • á É Á ~ ! Á F Á @ , • Á @ Á ~ ! á } • Á Á @ Á á æ á } | • Á Á á æ | Á @ Á @ Á Á
 ^ } á ! æ & Á ~ } • Á [] æ á Á Á @ Á Á Á • Á Á Á Á Á Á | | , • É Á

Á



Á

Figure 65: Silicon Content of the the Lubrication Oil Dependent on the Fuel Implemented and the Operating Time.

Q ÁÛ } &~ · á } ÁÛ Áæ Á^ Á æ Á@ Á^ ! á * Á@ Á@ ^ Á } à~ !æ &^ Á~ } · Á@ !^ Á æ Á [Á á Áæ } Áæ Á
q Áæ ^ Á c' áæ } Á^ Á } Á@ Á ^ Áæ Áæ á Áæ á Áæ ÁÛ {]] ^ } · Áæ á Á@ Á^ · Á] | ^ } c' á Á

Ö`!q * Ác@Á @!dē!{ Ác•cÁ }•Éæ Áq -^ } &Á } Ác@Á c@æ•cÁ æ Áæc!É^æq ^} cÁ•c{ Áá^Á
q Ác@Á^ } áÁ^ Á•Áq ~|áÁ [cÁ^Á•æá|ã @áÉV@Á ææÁ^Á^á &ç } Áq á^ &áÁ^ Ác@Áá•^|Á æÉ
æ |æ Ááç!Áæq ^Áq ÁJÁÁ ÉY æ@Ác@Áq]|^ { ^} ææ } Á^ Ác@ÁUÓUÉÁUÁ^ { á•q }•Áq ~|áÁ^Á
{ q̄ q̄ á^áÁq Áæq ^!& } æ^Á^ -Á] Áq ÁÉÉq |Ác@Á^ } cÁ^Á } *q̄ ^Á q̄ ÉÁUÁ^á^ &ç } Á^ -Á [!^Á
c@æ Á ÉÁ Á æ Áá^c!{ q̄ á^áÉ

Á

Engine Endurance RunsÁ

QÁc@Á^ } á`!q &Á^ }•Ác@Ác•cÁ } *q̄ ^Á q̄ æ Á [^!æ^áÁ æ@Ác•cÁ~ Á•ÁÖÖÉÁ ÁÁ ÁCCE ÖqÁ
ÖÖÉÁÉÁ ÁCCE ÖqÁ q̄ áÁÖÖÉÁÉÁ ÁPXUÁq |Á ÉÁ] ^!æq *Áq ~|Áæ@ÁV@Áq áq *Á^ Ác@Á
•@!dē!{ Ác•cÁ }•Áq ~|áÁ^Áq } -q̄ ^áÉÁÉÉ ÁæÁ^* æáÁq Ác@Á^ @ç *Á^ Ác@Á] ^!æq *Á
[[q̄ c Áæ áÁc@Á^ { á•q } Á^ @æq ~|ÉÁ

Ø!c@!{ [!^ÉÁÁq ~|áÁ^Á^ { [] }•dæ^áÁc@Ác@Á^ } *q̄ ^Áq { [] } ^} •Áq b &ç |É^c@æ•cÁ æ Á
c!á [&æ^ ÁÁÖÖVÁÁc@Á^ cÁ^Ác@ç^q̄ q̄ áÁ& |q̄ á^!Ác@æq̄ááÁ [cÁ @ Áq ~Á [æ^æ|Á^ ^æq̄
, ^æÁq {] æ^áÁq Ác@Á^] ^!æq } Á æ@Áá•^Á^ ÁÉU [[cÁ^] [•á^ Á } Ác@ÁÖÖUÁq [!^Á ^!^Á^] É
cááÁæc!Ác@Á^] ^!æq } Á æ@ÁCCE ÖÉ } çq̄ q̄ *Á^ Á•Á @æÁq !!^!æ^ Áq Ác@Á^• |c Á^ Ác@Á
] ææq̄^Á { á•q } •ÉÁ

Y æÁ^* æáÁq Ác@Á^ } *q̄ ^Á q̄ Áq { ááq } Éc@Á^ á!ææq } Á q̄ ÁááÁ [cÁá~ Á^Ác_ ^ } Ác@Á^ } á`!É
q̄ &Á^ }•Áq } &! } q̄ *Ác@áÁ q̄ æq̄ ^c!•Áq & q̄ æ ÉÁVÖp q̄ q̄ áÁ^ ^æq̄ ^æÁq } c! } cÁ^* æá|••Á
[-Ác@Á^ Áq]|^ { ^} cÁÉÉ [^ç!ÉÁ |q̄ *Á^ } á`!q &Á^ }•Ác@áÁ ÁÁÁÁ d [] *Áq &^æ^Á^ Ác@Á
} ^ d æá æq̄ } Á^ { á^!Á æ c@Áq q̄ q̄ q̄ Á q̄ Ác d q̄ | q̄ ÉU [•á^ Áæc•^•Á^ æ Áá^Ác@æÁc@Á
^ } áÁ^ Ác@Á^ & } áÁ^ } á`!q &Á^ }•Ác@ÁCCE ÖÁq } c! } cÁ^ Ác@Á^ á!ææq } Á q̄ &^æ^áÁq Á É ÁÁ
q̄ áÁCCE ÖÁ q̄ •^!Áq d Ác@Á^• q̄ q̄ q̄ *Á^ æ Á^!áááÁ Ác@Ác@áÁ^ } á`!q &Á^ } ÉÁ

Outlook

QÁq } &~ q̄ } ÉÁ^ ÁÉ^!æ^áÁá~ Á^ } &•Éæ Á } [,] Á^ [{ Á^!çq̄ ~ Áq } |ææq }•Éq ~|áÁ [cÁ^Á
ç!áááÁq |Ác@Ác•cÁ ÁÁÖWUÜÉÁ } *q̄ ^Á @æ@q̄] |á•Á q̄ ææ |æ| Áq Ác@Ác] æq̄ &^æ^Á^ -Á
ÁUÁ^ { á•q }•Áá^ Áq ÁCCE ÖÉ } çq̄ q̄ *Á^ Á^ ÉÖ^ ÁÉ^!æ^áÁ^ d çq̄ } Á^ Ác@Á^ } *q̄ ^Á] ^!æ
ç } &~ |áÁ [cÁ^Á^c!{ q̄ á^áÁ^ |q̄ *Á^ [c@Ác@Á @!dē!{ Áq áÁ^ } á`!q &Á^•cÁ }•ÉÁ

QÁ [~|áÁ^Áá•áæ|Áq Á^æá^Áq Áæáq çq̄ } Á^ Ác@Á^ } *q̄ ^Áq } d [Á^ } áÁ^ Á!] *!æ { q̄ *Á^ É
|^&cáÁ~ Á^Á^c &ç } ÉÁV@•Ác@Áq] !! ç^áÁÖÖUÁ [c! } çq̄ Á^ Á^ Á q̄ q̄ @ÁCCE ÖÁq } c! } cÁ
&~ |áÁ^Á^c] |æ^áÉÖáááq } æq̄ Ác@ÁÖÖÁ^ ÁÁ [•æ^Áq ~|áÁ^Ááá•cÁÁq Ác@Á& !!^ } cÁUÁ
^ { á•q }•Áq |áÁ^Áq Áq [áÁ^ á!•æ^ÉÁ

Á

Á

- ÖÚÖÁ Öä•^|Áäcæ |æ^Áäc!Á
- ØØ ÒÁ Øæc ÁÖBäÁ ^c@|ÁÖ•c!Á
- ØÙÞÁ Øäc!Á { [\ ^ Á ~ { à^!Á
- PØÛÜÁ Pä ØË^~^ } & ÁÛ&ä | [&æä * ÁÛä
- PÚÙÒÔ/ Pä ØÁ^! | { ä & ÁÛä^Èc&•ä } ÁÖ@ [{ æä *!ä @Á
- PXUÁ P^ái [*^ } æ^áÁ^*^æ|ÁÛä
- ØÓÁ Qä~ &ä^| ÁÖ [~] |^áÁ|æ { æ
- ØÁ Q} ää } ÁÖ^|æ
- T*Á Tæ } ^•ã { Á
- ÞUÁ Þä [*^ } Á [] [cä^Á
- ÞUÁ Þä [*^ } ÁÖä cä^Á
- VØÞÁ V [cÁÖBäÁ ~ { à^!Á
- UÁ Uç^*^ } Á
- UÒÜÁ U] cæÁÖ (ä•ä } ÁÛ ^&c [•&] ^Á
- UÙÁ Uçäæä } ÁÛcääc Á
- ÚÁ Úä [ÁÖb&ä } Á
- ÚØÙÁ Ú [| ä [à^c | ^ } ^ÁÛ &ä ä ä^Á
- ÚXÁ Ú^! [cä^Áæ^ Á
- ÛT ÒÁ Ûä ^•^^áÁÛÁ ^c@|ÁÖ•c!Á
- ÛÔÛÁ Û^| &ä^ ÁÖæä cÁÛ^á~ &ä } Á
- ÛT ÒÁ Û [^à^ä ÁÛÁ ^c@|ÁÖ•c!Á
- VÓÞÁ V [cÁÖæ^ Á ~ { à^!Á
- VPÔÁ V [cÁP^ái [&æà [] •Á
- XÁ Xä & •ä ÁQá^cÁ
- XPVÁ Xæä|Á [: : |Á^ |à [&c^*^!Á

Á
 Á
 Á

Á

10.3 Index of Figures

Figure 1: ÁŠ* æŃ ÁÚq̃ | æ^ á/Óā ~ ^|ÁÚ| | | | c̃ } Á/ ÁŃ ^| ÁŃ &Ń | áā * Á/ Á@/Óā S| æŃ Ń ÓÁ
 (Biofuel Quota Act) 1

Figure 2: ÁŃ { } | | • c̃ } Á/ Á@/Óc̃ æ^ • ŃŃ æŃ ÁŃ • | c̃ * Á/ { /Óā • ^|/Ń } * ā ^/Ń { à • c̃ } Á
 Œ | | ^ } æ^ ^| ÁŃ á/Á • & @ ^ ÁŒ € € | 2

Figure 3: ÁŃ @ { æŃ ÁÚq̃ & c̃ ^| Á/ ÁŃ P V 2

Figure 4: ÁŃ @ { æŃ ÁÚq̃ & c̃ ^| Á/ ÁŃ] @ } | 2

Figure 5: ÁŃ @ { æŃ ÁÚq̃ & c̃ ^| Á/ Á@ ÁÚŒ ÚŒ Œ ^ c̃ * ^ } 3

Figure 6: Á/ • Œ ÁŒ ě] Á/ Á@ ÁÚq̃ | æ^ ÁŃ Á@ ÁŒ ^ æ^ á/Óā ā ^ c̃ 6

Figure 7: ÁŃ { } • { } | c̃ } ÁŒ @ æŒ c̃ | ā c̃ • Ē æŃ Á/ Á@ Á/ • ŒŒ } * ā ^ ÁÚ | ^ | æ^ á/ } ÁŒ • ^| ÁŒ ^| 8

Figure 8: ÁŒ æŒ | æŃ Á/ Á@ Á/ • ŒŒ } & @ ÁŒ ě] ÁŒ &Ń | áā * ÁŒ ^ æ^ | ā * ÁŒ á/Ń { } c̃ | | Á/ ^ & @ | | * ^ 9

Figure 9: ÁŒ } * ā ^ ÁŒ ě] Á/ áŒ ^ æ^ | ā * ÁÚ | ā • Á/ | ÁŒ • • | ^ ÁŒ á/Á/ { } | ^ | ÁŒ Á | ÁŒ Á
 Œ c̃ æ^ • ŒŒ æŒ ÁŒ } | | ā * ÁÚ | ā • ÁŒ 9

Figure 10: ÁŒ ^| ^ & c̃ á/ÁŒ ^ æ^ | ā * ÁÚ | ā • Á/ } Á@/Œ } * ā ^ ÁŒ æŒ 10

Figure 11: Á/ | ^ ^ ÁŒ á/ÁŒ ^ á/ÁŒ | c̃ ^ ÁŒ | ā * Á@ ÁŒ c̃] Á/ • Œ ^ æ^ | ^ { } c̃ 11

Figure 12: Á/ | ^ ^ ÁŒ á/ÁŒ ^ á/ÁŒ | c̃ ^ ÁŒ | ā * Á@ ÁŒ } á/ | æŒ & ÁŒ } ÁŒ & ^ 12

Figure 13: ÁŒ | ^ æ^ Á/ • ā } Á/ Á@ ÁŒ • ^| ÁŒ ^ ĒŒŒŒ Œ ÁŒ } á/ ÁŒ ^ } á/ } c̃ } Á@ Á
 V ^ { } | ^ | æ^ | ^ 13

Figure 14: ÁŒ | ^ æ^ Á/ • ā } Á/ Á@ ÁŒ • ^| ÁŒ ^ Ē X U ÁŒ } á/ ÁŒ ^ } á/ } c̃ } Á@ Á
 V ^ { } | ^ | æ^ | ^ 14

Figure 15: ÁŒ c̃ | æŒ } ÁŒ @ æŒ c̃ | ā c̃ • Á/ Á@ ÁŒ • ^| ÁŒ ^ ĒŒŒŒ Œ ÁŒ } á/ 15

Figure 16: ÁŒ c̃ | æŒ } ÁŒ @ æŒ c̃ | ā c̃ • Á/ Á@ ÁŒ • ^| ÁŒ ^ Ē X U ÁŒ } á/ 16

Figure 17: ÁŒ c̃ æŒ } ÁŒ æŒ æŒ Á/ Á@ ÁŒ ~ ^| ÁŒ } á/ ÁŒ ^ } á/ } c̃ } Á@ Á
 Úq̃ | æ^ ÁŒ ^ ÁŒ Ē Ē Œ Œ 17

Figure 18: ÁŒ c̃ æŒ } ÁŒ æŒ æŒ Á/ Á@ ÁŒ ~ ^| ÁŒ } á/ ÁŒ ^ } á/ } c̃ } Á@ ÁŒ | æ^ Á
 V ā ^ ÁŒ Ē ÁŒ 18

Figure 19: ÁŒ c̃ æŒ } ÁŒ æŒ æŒ Á/ Á@ ÁŒ ~ ^| ÁŒ } á/ ÁŒ ^ } á/ } c̃ } Á@ Á
 Úq̃ | æ^ ÁŒ ^ ÁŒ Ē ÁŒ 19

Figure 20: ÁŒ c̃ æŒ } ÁŒ æŒ æŒ Á/ Á@ ÁŒ ~ ^| ÁŒ } á/ ÁŒ ^ } á/ } c̃ } Á@ Á
 Úq̃ | æ^ ÁŒ ^ ÁŒ Ē ÁŒ 20

Figure 21: ÁŒ ^ d æŒ æŒ } ÁŒ { à ^| Á/ Á@ ÁŒ ~ ^| ÁŒ } á/ ÁŒ ^ } á/ } c̃ } Á@ ÁŒ | æ^ ÁŒ ^ ÁŒ
 Ē ÁŒ 21

Figure 22: ÁŒ ^ d æŒ æŒ } ÁŒ { à ^| Á/ Á@ ÁŒ ~ ^| ÁŒ } á/ ÁŒ ^ } á/ } c̃ } Á@ ÁŒ | æ^ ÁŒ ^ ÁŒ
 F€ÁŒ 21

Figure 23: ÁŒ ā ^ { æŒ ÁŒ &Œ • æŒ Á/ Á@ ÁŒ ~ ^| ÁŒ } á/ ÁŒ ^ } á/ } c̃ } Á@ ÁŒ | æ^ ÁŒ ^ ÁŒ Ē
 Œ ÁŒ 22

Figure 24: ÁŒ ā ^ { æŒ ÁŒ &Œ • æŒ Á/ Á@ ÁŒ ~ ^| ÁŒ } á/ ÁŒ ^ } á/ } c̃ } Á@ ÁŒ | æ^ ÁŒ ^ ÁŒ
 F€ÁŒ 22

Figure 25: ÁŒ | c̃ æŒ ÁŒ æŒ ^| Á/ Á@ ÁŒ ~ ^| ÁŒ } á/ ÁŒ ^ } á/ } c̃ } Á@ ÁŒ | æ^ ÁŒ ^ ÁŒ Ē 23

Figure 26: ÁŒ | c̃ æŒ ÁŒ æŒ ^| Á/ Á@ ÁŒ ~ ^| ÁŒ } á/ ÁŒ ^ } á/ } c̃ } Á@ ÁŒ | æ^ ÁŒ ^ ÁŒ Ē 24

Figure 27: ÁŒ Ú Ú Œ Œ Œ Œ | æ^ • ā ^| ÁŒ Œ Œ Œ Œ ^ } á/ } c̃ } Á@ ÁŒ | æ^ ÁŒ ^ ÁŒ Ē 24

Figure 28: ÁŒ Ú Ú Œ Œ Œ Œ | æ^ • ā ^| ÁŒ • ^| ÁŒ ^ } á/ } c̃ } Á@ ÁŒ | æ^ ÁŒ ^ ÁŒ Ē 25

Figure 29: ÁŒ Ú Ú Œ Œ Œ Œ | æ^ • ā ^| ÁŒ Œ Œ Œ Œ Ē X U ÁŒ } | ^ ÁŒ ^ } á/ } c̃ } Á@ ÁŒ | æ^ ÁŒ
 V ā ^ ÁŒ Ē ÁŒ 26

Figure 58: Á Ó Þ Á - Á @ Á Š à i ß æ ã } Ú ã Ö ^ \ } á ^ } of } Á @ Á Ø ^ \ Q] | \ { ^ } c á Á ã á Á @ Á
U] ^ i æ ã * Á v ä ^ Á

Figure 59: Á ^ d a ã æ ã } Á ~ { à ^ i Á - Á @ Á Š à i ß æ ã } Ú ã Ö ^ \ } á ^ } of } Á @ Á Ø ^ \ Q] | \ { ^ } c á Á
æ á Á @ Á U] ^ i æ ã * Á v ä ^ Á

Figure 60: Á Ø Æ Ò Á Ö [} c } of } Á @ Á Š à i ß æ ã } Ú ã Ö ^ \ } á ^ } of } Á @ Á Ø ^ \ Q] | \ { ^ } c á Á ã á Á @ Á
U] ^ i æ ã * Á v ä ^ Á

Figure 61: Á Ú Û Ò Ó Á Æ æ • á Á - Á @ Á Š à i ß æ ã } Ú ã Ö c Á Á ∈ Á U] ^ i æ ã * Á R [~ i • Ö ^ \ } á ^ } of } Á
@ Á Ø ^ \ Q] | \ { ^ } c á Á Ö [{] æ ^ á Á Á Ø ^ • @ Á ã Á

Figure 62: Á Æ { ã ä { Á Ö [} c } of } Á @ Á Š à i ß æ ã } Ú ã Ö ^ \ } á ^ } of } Á @ Á Ø ^ \ Q] | \ { ^ } c á Á
æ á Á @ Á U] ^ i æ ã * Á v ä ^ Á

Figure 63: Á Ö []] ^ i Á Ö [} c } of } Á @ Á Š à i ß æ ã } Ú ã Ö ^ \ } á ^ } of } Á @ Á Ø ^ \ Q] | \ { ^ } c á Á ã á Á
@ Á U] ^ i æ ã * Á v ä ^ Á

Figure 64: Á Ö [} Á Ö [} c } of } Á @ Á @ Á Š à i ß æ ã } Ú ã Ö ^ \ } á ^ } of } Á @ Á Ø ^ \ Q] | \ { ^ } c á Á ã á Á
@ Á U] ^ i æ ã * Á v ä ^ Á

Figure 65: Á ã ã } Á Ö [} c } of } Á @ Á @ Á Š à i ß æ ã } Ú ã Ö ^ \ } á ^ } of } Á @ Á Ø ^ \ Q] | \ { ^ } c á Á
æ á Á @ Á U] ^ i æ ã * Á v ä ^ Á

Á
Á
Á
Á

Á

10.5 Wear Metals and Contamination in the Engine Lubrication Oil

Á

Table 20: Wear Metals in the Engine Oil Dependent on the Operating Time of the First Endurance Run.

DF + 7 % FAME		Operating Time After Oil Change [h]								
Element	Unit	0	100	200	250	300	350	400	450	500
Q } Á	{ *D*Á	€Á	H€Á	I€Á	I€Á	I€Á	I€Á	I€Á	I€Á	J€Á
Ô@[{ ā{ Á	{ *D*Á	€Á	F€Á	F€Á	F€Á	F€Á	G€Á	G€Á	G€Á	H€Á
Vā Á	{ *D*Á	€Á	€Á	€Á	€Á	€Á	€Á	€Á	€Á	€Á
œ { ā ā{ Á	{ *D*Á	H€Á	I€Á	I€Á	I€Á	I€Á	I€Á	I€Á	I€Á	I€Á
pæ^Á	{ *D*Á	€Á	€Á	€Á	€Á	€Á	€Á	€Á	€Á	€Á
Ô[]^!Á	{ *D*Á	€Á	I€Á	F€Á	F€Á	F€Á	F€Á	F€Á	F€Á	G€Á
ŠæÁ	{ *D*Á	€Á	€Á	€Á	€Á	€Á	€Á	€Á	€Á	€Á
T[â`ââ^}~{ Á	{ *D*Á	€Á	€Á	€Á	€Á	€Á	€Á	€Á	€Á	€Á

Table 21: Wear Metals in the Engine Oil Dependent on the Operating Time of the Second Endurance Run.

DF + 30 % FAME		Operating Time After Oil Change [h]								
Element	Unit	0	100	200	300	350	400	450	500	
Q } Á	{ *D*Á	€Á	G€Á	I€Á	I€Á	I€Á	I€Á	I€Á	I€Á	I€Á
Ô@[{ ā{ Á	{ *D*Á	€Á	F€Á	F€Á	F€Á	G€Á	G€Á	G€Á	H€Á	
Vā Á	{ *D*Á	€Á	€Á	€Á	€Á	€Á	€Á	€Á	€Á	
œ { ā ā{ Á	{ *D*Á	H€Á	H€Á	H€Á	I€Á	I€Á	I€Á	I€Á	I€Á	
pæ^Á	{ *D*Á	€Á	€Á	€Á	€Á	€Á	€Á	€Á	€Á	
Ô[]^!Á	{ *D*Á	€Á	I€Á	F€Á	F€Á	F€Á	F€Á	F€Á	G€Á	
ŠæÁ	{ *D*Á	€Á	€Á	€Á	€Á	€Á	€Á	€Á	€Á	
T[â`ââ^}~{ Á	{ *D*Á	€Á	€Á	€Á	€Á	€Á	€Á	€Á	€Á	

Table 22: Wear Metals in the Engine Oil Dependent on the Operating Time of the Third Endurance Run.

DF + 30 % HVO		Operating Time After Oil Change [h]								
Element	Unit	0	100	200	250	300	350	400	450	500
Q } Á	{ *D*Á	€Á	H€Á	I€Á	I€Á	I€Á	I€Á	I€Á	I€Á	I€Á
Ô@[{ ā{ Á	{ *D*Á	€Á	F€Á	F€Á	F€Á	G€Á	F€Á	G€Á	G€Á	G€Á
Vā Á	{ *D*Á	€Á	€Á	€Á	€Á	€Á	€Á	€Á	€Á	€Á
œ { ā ā{ Á	{ *D*Á	H€Á	G€Á	H€Á	I€Á	I€Á	I€Á	I€Á	I€Á	I€Á
pæ^Á	{ *D*Á	€Á	€Á	€Á	€Á	€Á	€Á	€Á	€Á	€Á
Ô[]^!Á	{ *D*Á	€Á	I€Á	J€Á	F€Á	F€Á	I€Á	J€Á	F€Á	F€Á
ŠæÁ	{ *D*Á	€Á	€Á	€Á	€Á	€Á	€Á	€Á	€Á	€Á
T[â`ââ^}~{ Á	{ *D*Á	€Á	€Á	€Á	€Á	€Á	€Á	€Á	€Á	€Á

Á

Table 23: Additives and Contamination Components in the Engine Oil Dependent on the Operating Time of the First Endurance Run.

DF + 7 % FAME		Operating Time After Oil Change [h]								
Element	Unit	0	100	200	250	300	350	400	450	500
Ôæã { Á	{ *D*Á	FÍ GEÁ	FI FÉÁ	FI ÌÉÁ	FH ÉÁ	FH ĨÉÁ	FH HEÁ	FI GEÁ	FHUÉÁ	FI FÉÁ
Tæ } ^•ã { Á	{ *D*Á	I ÈÁ	I ÈÁ	I ÈÁ	I ÈÁ	I ÈÁ	I ÈÁ	I ÈÁ	I ÈÁ	I ÈÁ
Ó[!] Á	{ *D*Á	FÈ Á	FÈ Á	FÈ Á	È Á	È Á	È Á	FÈ Á	È Á	È Á
Zã &Á	{ *D*Á	ĪĪ GÁ	ĪĪ JÁ	ĪĪ HÁ	ĪĪ ÉÁ	ĪĪ JÁ	ĪĪ ĪÁ	ĪĪ HÁ	ĪĪ GÁ	ĪĪ HEÁ
Óæã { Á	{ *D*Á	ŁÈFÁ	ÈGÁ	ÈGÁ	ÈGÁ	ÈGÁ	ÈGÁ	ÈGÁ	ÈGÁ	ÈHÁ
Ú@•] @!•Á	{ *D*Á	ĪĪ GÁ	ĪĪ HÁ	ĪĪ ĪÁ	ĪĪ ĪÁ	ĪĪ ÉÁ	ĪĪ ĪÁ	ĪĪ FÁ	ĪĪ GÁ	ĪĪ FÁ
Ù~] @!Á	{ *D*Á	FJHEÁ	FĪ ÉÁ	GÉ ÉÁ	FĪ GEÁ	FĪ ÉÉÁ	FĪ FEÁ	FĪ HEÁ	FĪ ÉÉÁ	FĪ GEÁ
Ùã] Á	{ *D*Á	ŁÈFÁ	I ÈÁ	Ī ÈÁ	Ī ÈÁ	Ī ÈÁ	Ī ÈÁ	JÈÁ	FI ÈÁ	FI ÈÁ
Ù[ãã { Á	{ *D*Á	GÉÁ	Ī ÈÁ	Ī ÈÁ	Ī ÈÁ	Ī ÈÁ	Ī ÈÁ	Ī ÈÁ	Ī ÈÁ	FÈ Á

Á

Á

Table 24: Additives and Contamination Components in the Engine Oil Dependent on the Operating Time of the Second Endurance Run.

DF + 30 % FAME		Operating Time After Oil Change [h]							
Element	Unit	0	100	200	300+	350	400	450	500
Ôæã { Á	{ *D*Á	FÍ GEÁ	FI ĪÉÁ	FI FEÁ	FI ÌÉÁ	FI ĪÉÁ	FI ÌÉÁ	FI ĪÉÁ	FI ÌÉÁ
Tæ } ^•ã { Á	{ *D*Á	I ÈÁ	I ÈÁ	I ÈÁ	I ÈÁ	Ī ÈÁ	Ī ÈÁ	Ī ÈÁ	Ī ÈÁ
Ó[!] Á	{ *D*Á	FÈ Á	GÈ Á	FÈ Á	FÈ Á	FÈ Á	FÈ Á	GÈ Á	FÈ Á
Zã &Á	{ *D*Á	ĪĪ GÁ	ĪĪ ĪÁ	ĪĪ ÉÁ	ĪĪ ĪÁ	ĪĪ ĪÁ	ĪĪ JÁ	ĪĪ ĪÁ	ĪĪ ÉÁ
Óæã { Á	{ *D*Á	ŁÈFÁ	ÈGÁ	ÈFÁ	ÈGÁ	ÈFÁ	ÈFÁ	ÈFÁ	ÈFÁ
Ú@•] @!•Á	{ *D*Á	ĪĪ GÁ	ĪĪ ĪÁ	ĪĪ HÁ	ĪĪ GÁ	ĪĪ HÁ	ĪĪ FÁ	ĪĪ GÁ	ĪĪ ĪÁ
Ù~] @!Á	{ *D*Á	FJHEÁ	FĪ ÉÁ	FĪ ÉÁ	FĪ ÉÉÁ	FĪ ÉÉÁ	FĪ JÉÁ	FĪ ÉÁ	FĪ ÉÁ
Ùã] Á	{ *D*Á	ŁÈFÁ	Ī ÈÁ	JÈÁ	Ī ÈÁ	Ī ÈÁ	Ī ÈÁ	JÈÁ	FÈ Á
Ù[ãã { Á	{ *D*Á	GÉÁ	Ī ÈÁ	Ī ÈÁ	Ī ÈÁ	Ī ÈÁ	Ī ÈÁ	Ī ÈÁ	JÈÁ

Table 25: Additives and Contamination Components in the Engine Oil Dependent on the Operating Time of the Third Endurance Run.

DF + 30 % HVO		Operating Time After Oil Change [h]								
Element	Unit	0	100	200	250	300	350	400	450	500
Ô&ã{ Á	{ *D*Á	FÍ GÉÁ	FÍ IÉÁ	FÍ JÉÁ	FÍ ÍÉÁ	FÍ IÉÁ	FÍ HÉÁ	FÍ ÍÉÁ	FÍ ÉÉÁ	FÍ ÍÉÁ
Tæ}^•ã{ Á	{ *D*Á	IÉÁ	IÉÁ	IÉÁ	IÉÁ	IÉÁ	IÉÁ	IÉÁ	IÉÁ	IÉÁ
Ó{!}Á	{ *D*Á	FÉÁ	FÉÁ	FÉÁ	FÉÁ	FÉÁ	FÉÁ	FÉÁ	FÉÁ	FÉÁ
Z&Á	{ *D*Á	ÍÍ GÁ	ÍÍ GÁ	ÍÍ JÁ	Í GÁ	Í IÉÁ	Í ÉJÁ	ÍÍ JÁ	ÍÍ GÁ	ÍÍ IÁ
Ó&ã{ Á	{ *D*Á	LÉFÁ	LÉFÁ	LÉFÁ	LÉFÁ	LÉFÁ	LÉFÁ	ÉÉÁ	ÉÉÁ	ÉÉÁ
Ú@.]@!^•Á	{ *D*Á	ÍÍ GÁ	Í FÍ Á	Í Í IÁ	Í FÍ Á	Í GÁ	Í Í IÁ	Í ÉJÁ	Í Í JÁ	Í FÍ Á
Û @!Á	{ *D*Á	FJHÉÁ	GÉHÉÁ	FÍ IÉÁ	FJJEÁ	GÉFÉÁ	FÍ GÉÁ	FÍ JEÁ	FÍ IÉÁ	FJHÉÁ
Ù&ã{ Á	{ *D*Á	LÉFÁ	IÉÁ	IÉÁ	IÉÁ	JÉÁ	IÉÁ	IÉÁ	JÉÁ	FÉÉÁ
Ù{ãã{ Á	{ *D*Á	GÉÁ	FÉÉÁ	IÉÁ	IÉÁ	IÉÁ	IÉÁ	IÉÁ	IÉÁ	IÉÁ

Á
Á

10.6 Post Mortem Analysis of the After-Treatment System

Á

Öe^!&{ } |^cã *Á@Á}ã^!æ &^Á^}•É@Áæ^!É^æ^}d^•c^}•Á^!^Áæ}æ^: ^ãÁ^ ÁJohnson Matthey/Á) *|æ}ãÉV@Áç^•cãæ}Áæ&{ |!ãææ^ãÁ^ ÁÖ:ÉÖ|æ•ÁÖ4!•{æ}É

Á
Á

Ô{ } c&Q-!{ æã}KÁ

Á

Ö:ÉÖ|æ•ÁÖ4!•{æ}Á
V^&@{ || *^ ÁÜcæ^*^ Áæ}æ^!Á

Á

R|@•{ } Áæ@^ ÁJ&Á
Ó{ã•ã}ÁÖ{ } d|Á^&@{ || *ã•Á
U!&@ãÁÜ[æãÁ
Û{^•d}ÉP^!ç|!ã•@^Á
ÙÖ! Á PÒÁ
W}æ^!Sã *ã{ Á

Á

V^|ÉÉ|ÉÍÍHGÍÉÍÁ
T[ããKÉ|ÉJÍÍÉGÍÍJÁ
Öe^!&{ } |^cã *Á@Á}ã^!æ &^Á^}•É@Áæ^!É^æ^}d^•c^}•Á^!^Áæ}æ^: ^ãÁ^ ÁJohnson Matthey/Á) *|æ}ãÉV@Áç^•cãæ}Áæ&{ |!ãææ^ãÁ^ ÁÖ:ÉÖ|æ•ÁÖ4!•{æ}É

CHARACTERISATION REPORT C12674

19th January 2013



Johnson Matthey
Catalysts

Post mortem analysis of three DOC/CSF/SCR systems from Rostock University

For circulation to FVV

M. Lawrence

Catalyst Characterisation Group



Confidential

Introduction



INTRODUCTION (1)

- Three DOC/CSF/SCR systems were submitted for analysis by Rostock University
- Each system comprised a DOC, a CSF and two SCR catalysts

System	Sample Label	Substrate	Dimensions (mm)
System 1	DOC	Metallic	134.8x72x63.5
	CSF	Silicon Carbide	198.33x102.2x170
	SCR A	Cordierite	140x75
	SCR B	Cordierite	140x150
System 2	DOC	Metallic	134.8x72x63.5
	CSF	Silicon Carbide	198.33x102.2x170
	SCR A	Cordierite	140x75
	SCR B	Cordierite	140x150
System 3	DOC	Metallic	134.8x72x63.5
	CSF	Silicon Carbide	198.33x102.2x170
	SCR A	Cordierite	140x75
	SCR B	Cordierite	140x150



INTRODUCTION (2)

- The three DOC/CSF/SCR systems had been tested by Rostock University using different biofuel blends:
 - System (1): Diesel (B7)
 - System (2): Diesel + 30% FAME
 - System (3): Diesel + 30% HVO
- The FAME fraction was a blend of 70% RME (rape seed methyl ester) and 30% SME (soy bean methyl ester), stabilised with antioxidants
 - 100ppm of an anti-fouling detergent of the PIBSI class was also added to the FAME fraction



INTRODUCTION (3)

- Three 500 hour tests were run to compare the exhaust after-treatment performance from standard fuel conditions vs. bio fuel blends
- All tests were carried out on a VW series EU-VI passenger car engine with 4cyl.-16V, engine number CBAC, 1968cm³ engine swept volume, 103kW at 4200rpm and max engine torque of 320Nm at 1750-2500rpm
- Post mortem analysis was carried out to investigate the level of poisoning present after ageing



EXPERIMENTAL & SAMPLE PREPARATION

- X-ray fluorescence (XRF) was used to quantify the extent of poisoning present on all catalysts
- For the DOCs, the catalysts were drilled through and swarf collected
 - Swarf was ground and pelletized before XRF analysis
- For the CSFs cores were taken from each catalyst then divided into three sections: 'Front', 'Middle' and 'Rear'
 - These sections were ground and pelletized before analysis
- For elemental analysis of the SCRs, a quarter of each catalyst was divided into three sections: 'Front', 'Middle' and 'Rear'
 - These sections were ground and pelletized before analysis

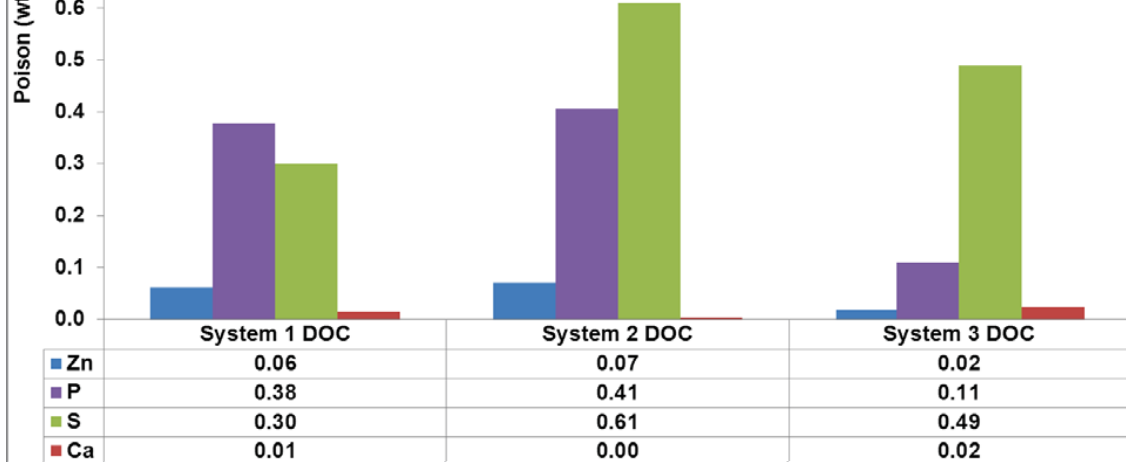


Results



CATALYST POISONING -DOC

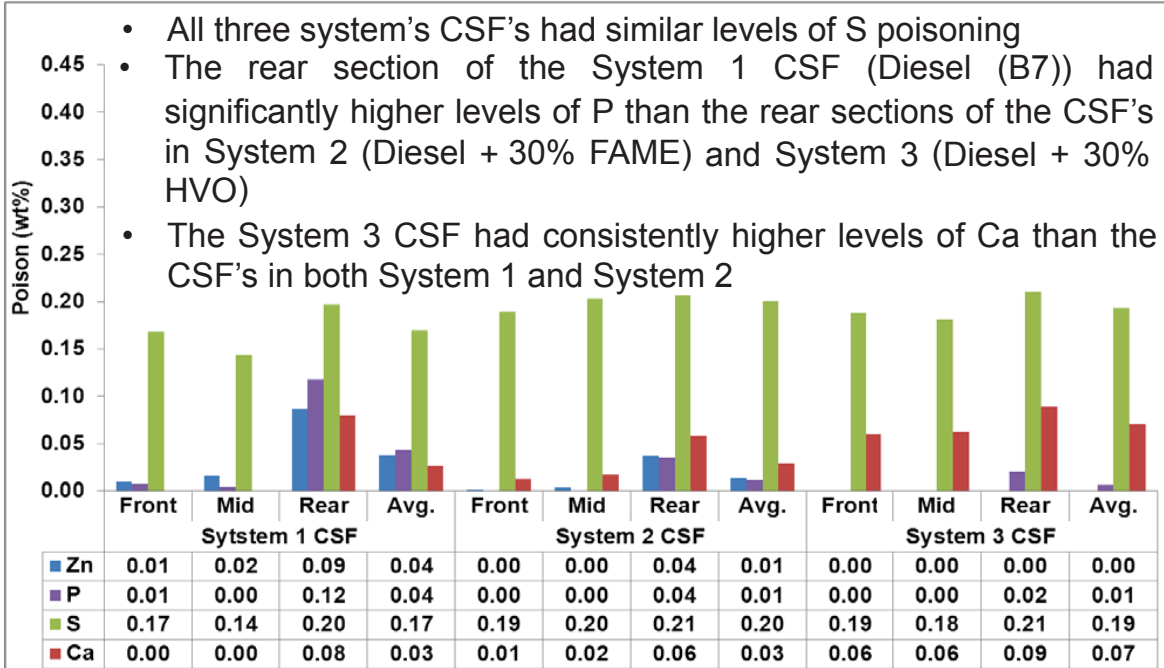
- The System 2 DOC (Diesel + 30% FAME) had the highest levels of Zn, P and S-this is in contrast the System 3 DOC (Diesel + 30% HVO), which had significantly lower levels of Zn, P and S



CATALYST POISONING -CSF



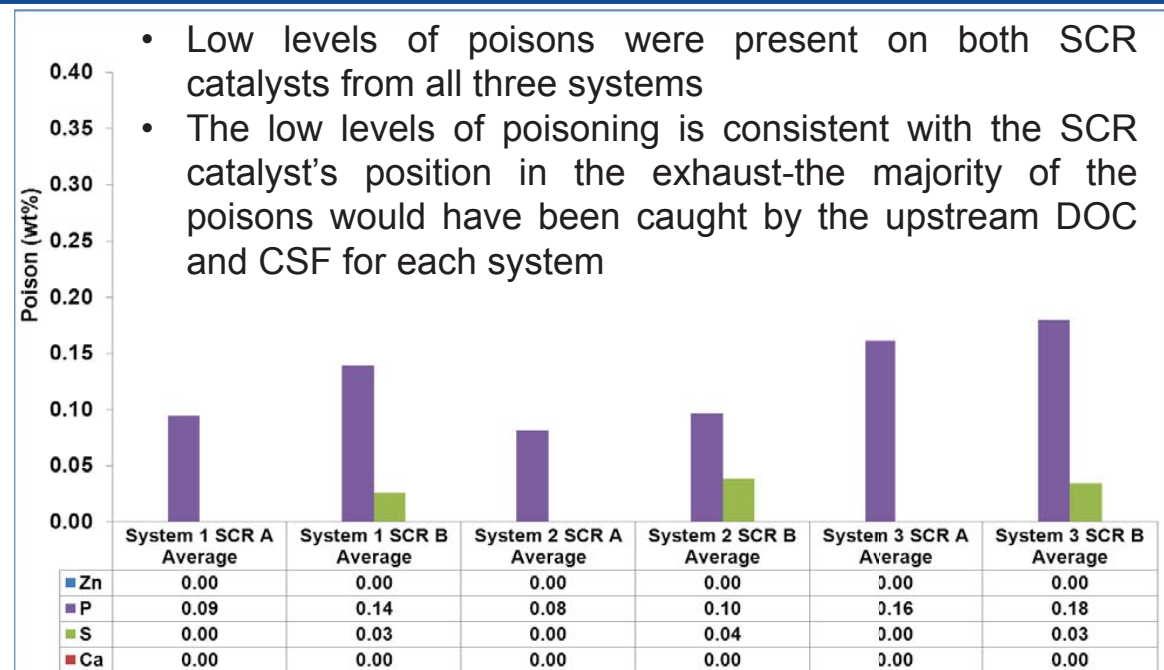
Confidential



CATALYST POISONING -SCR



Confidential



Conclusions



CONCLUSIONS (1)

- Three catalyst systems were submitted for analysis by Rostock University
 - Each system comprised a DOC, a CSF and two SCR catalysts
 - The three systems had been tested by Rostock University using different biofuel blends
- The System 2 DOC (Diesel + 30% FAME) had the highest levels of Zn, P and S-this is in contrast the System 3 DOC (Diesel + 30% HVO), which had significantly lower levels of Zn, P and S



CONCLUSIONS (2)

- All three system's CSF's had similar levels of S poisoning
 - The rear section of the System 1 CSF (Diesel (B7)) had significantly higher levels of P than the rear sections of the CSF's in system 2 (Diesel + 30% FAME) and System 3 (Diesel + 30% HVO)
 - The System 3 CSF had consistently higher levels of Ca than the CSF's in both System 1 and System 2
- Low levels of poisons were present on both SCR catalysts from all three systems

